



بسم الله الرحمن الرحيم

جامعة السودان للعلوم والتكنولوجيا

كلية الدراسات العليا

تحليل السلسل الزمنية واستخدامه

لبناء نماذج حوادث المرور في ولاية الخرطوم

2006-2013م

Time Series Analysis and its use in Constructing

Traffic Accidents Models In Khartoum State

2006-2013

بحث تكميلي لنيل درجة الماجستير في الإحصاء

إشراف

إعداد:

الدكتور:

أحمد محمد عبد

رقية عبد الله الطيب

الله حمدى

إبريل 2014م



الـأـيـامـة

**قال تعالى:**

(وَلَقَرْنَاهُمْ بَنِي آدمَ وَهَمْ لَنَا هُمْ فِي الْبَرِّ وَالْبَحْرِ وَرَزَقْنَا هُمْ

مِنَ الطَّيِّبَاتِ وَنَصَّلُنَاهُمْ عَلَىٰ كُثُرٍ مِّنْ خَلْقِنَا تَفْضِيلًا

## سورة الإسراء، الآية (70)

# الأهداء

إِذَا سُأْلَتْ عَنْ جَنَّةِ الْرَّنِيَا

فَسَلِ الْعَيْوَنَ الَّتِي فَاضَتْ مَرَأَتْهَا .. مِنْ خَشْيَةِ اللَّهِ إِيمَانًا وَتَبْجِيلًا  
سَلِ النُّفُوسَ الَّتِي بِالْأَمْسِ يَوْقُظُهَا .. كِتَابٌ رَبِّي فَتْحِي بِاللَّدِيلِ تَرْتِيلًا  
تَزَيَّنَنَا الْمَرْوِيَّا وَقَرْ وَجَدَوْا .. طَعْمُ السَّعَادَةِ بِالْإِيمَانِ مَعْسُولًا ..  
إِلَى مَنْ أَرْضَعَنِي الْحُبُّ وَالْحَنَانَ .. إِلَى رَزْ الْحُبُّ وَبَلَسْمِ الشَّفَاءِ ..  
إِلَى الْقَلْبِ النَّاصِحِ الْبَيْاضِ .. الْيَنْبُوْعُ الَّذِي تَفَجَّرَ عَطَاءً وَوَنْ مَقَابِلٍ ..  
لِيَمْنَحَنَا الْرَّفِّ وَالْحَنَانَ وَاللَّاعِتِمَادَ عَلَى الْزَّرَاتِ .. أَمَّيِ ..  
إِلَى مَنْ حَصَرَ الْأَشْوَارَكَ عَنْ وَرَبِّي لِيَمْهُرَ لِي طَرِيقَ الْعِلْمِ ..  
الَّذِي أَهْرَانَنِي زَهْرَةَ عَمْرَهِ وَعَلَمَنِي هَذِهِ تَذَوُّنَ الْحَيَاةِ ..  
وَأَضَاءَ لِي طَرِيقَ الْخَيْرِ عَلَمًا وَعِرْفَةً وَأَخْلَاقًا .. أَبِي ..

## الشكر والتقدير

بعد إنجاز هذا البحث الشكر كل الشكر إلى من ساهم معي  
في إخراج هذا البحث المتواضع  
وأخص بالشكر اللواء شرطة/ السر احمد عمر دحمة  
كما أخص بالشكر الحميد شرطة/ عمر محمد احمد الطيب  
مدير العمليات بشرطة مرور ولاية الخرطوم  
وشكري يمتي إلى الدكتور/ احمد محمد عبد الله حمدي الذي  
أشرف على هذا البحث ولم يدخل على بالجهد والوقت  
والإرشاد.. له مني أسمى آيات الشكر

الباحثة

## المستخلص

يعتبر موضوع تحليل السلسل الزمنية من المواضيع الإحصائية المهمة لتقسيير الظواهر التي تحدث خلال فترة زمنية محددة، ويهدف تحليل السلسلة الزمنية إلى الحصول على وصف دقيق للسلسلة وبناء نموذج مناسب لتقسيير سلوكها واستخدام النتائج للتنبؤ بسلوك السلسلة الزمنية في المستقبل.

تضمن البحث نماذج إحصائية باستخدام تحليل السلسل الزمنية لحوادث المرور في ولاية الخرطوم، واعتمد البحث المنهج التحليلي الاستنتاجي.

ضم البحث خمسة فصول استعرضنا في الفصل الأول مشكلة وأهمية وفرض وحدود البحث إضافة إلى استعراض لأهم البحوث والدراسات السابقة، وخصص الفصل الثاني للتعریف بأنواع حوادث المرور وأسبابها، وخصص الفصل الثالث للإطار النظري للبحث حيث تم توضیح السلسلة الزمنية واتجاهات تحلیلها ومراحل تحلیل السلسلة إضافة إلى النماذج المستخدمة وآلیة بنائها. وخصص الفصل الرابع للجانب التطبيقي حيث تم عرض بيانات البحث وهي بيانات حقيقة من سجلات المرور، وتمثل ثلاثة سلاسل زمنية:

السلسلة الأولى هي حوادث الازدی البسيط

السلسلة الثانية هي حوادث الازدی الجسيم

السلسلة الثالثة هي حوادث الموت

مأخذة على أساس شهري للفترة من 2006م إلى 2013م، حيث تم بناء نموذج لكل سلسلة وهي على التوالي:

$$Z_t = -0.5979 a_{t-1} + a_t, \quad Z_t = -0.6662 a_{t-1} + a_t,$$

$$Z_t = -0.5360 Z_{t-1} - 0.9960 a_{t-1} + a_t$$

وخصص الفصل الخامس لأهم الاستنتاجات والتوصيات، وأهمها:

1. السلسلة الزمنية قيد البحث هي سلاسل غير مستقرة مما يتطلب تحويلها إلى سلاسل مستقرة.
2. النماذج المقترحة صالحة لأن تستخدم من قبل الجهات التخطيطية لتحليل ظاهرة حوادث المرور.

3. أن موضوع البحث بجانبيه النظري والتطبيقي يفتح مجالات وآفاق للباحثين وخاصة في  
جوانب استخدام تحليل السلسل الزمنية متعددة المتغيرات Multivariate Time Series  
.Analysis

## Abstract

The topic of time series analysis is considered one of the important statistical topics in illustrating the phenomena which occur during a specific period of time. It aims to obtaining a precise description of the series and building a suitable mode for interpreting its conduct and then using the results for forecasting the conduct of the series in the future.

Our research embodied suggestion of a statistical model by using the time series analysis of the traffic accidents in Khartoum state, and the research approved the detective analytical method.

Our research contained five chapters. we reviewed in the first chapter the problem, importance objectives, hypothesis and domain of the research, in addition to reviewing the most important relevant researches and previous studies. Chapter two had specified of the type of traffic accidents and its reasons, and the third chapter had specified for the theoretical background of the research where the time series and the ways and stages of its analysis had been interpreted, in addition to the employed models and mechanism of their construction. The fourth chapter had of specified for the analytical part where the data of the research which are real data from the traffic authorities records had been exhibited. Such data represents three series which are:

The first series: is simple traffic accidents.

The second series: is the massive traffic accidents.

The third series: is the death accidents.

they had been taken on monthly basics for the period 2006-2013, where it has been constructed a model for every series, which are

$$Z_t = -0.5979 a_{t-1} + a_t, \quad Z_t = -0.6662 a_{t-1} + a_t, \quad Z_t = -0.5360 Z_{t-1} - 0.9960 a_{t-1} + a_t$$

The five chapters had specified for the most important concluding remarks and recommendations and the important of which:

1. The time series of the research are un stationary in their mean and variance, which require to be transferred to stationary series.
2. The models suggested are good for the planning authorities for dominating the traffic accidents.
3. The topic of the research by its parts the theoretical and application is of the interest of the researches, especially in the field of using multivariate time series analysis.

## فهرس الموضوعات

الصفحة	الموضوع
أ	الآية
ب	الإهداء
ج	الشكر والتقدير
و	فهرس الموضوعات
ح	فهرس الجداول
ط	فهرس الأشكال
<b>الفصل الأول: المقدمة</b>	
1	1-1 تمهيد
2	2-1 مشكلة البحث
2	3-1 أهداف البحث
2	4-1 أهمية البحث
3	5-1 فروض البحث
3	6-1 حدود البحث
3	7-1 منهجية البحث
3	8-1 الدراسات السابقة
6	9-1 هيكلية البحث
<b>الفصل الثاني: حوادث المرور</b>	
7	2-1 أنواع حوادث المرور
8	2-2 أسباب حوادث المرور

<b>الفصل الثالث: السلاسل الزمنية</b>	
11	1-3 تعريف السلاسل الزمنية
12	2-3 أهداف تحليل السلاسل الزمنية
12	3-3 وصف السلسلة الزمنية
13	4-3 مكونات السلسلة الزمنية
13	5-3 نماذج السلاسل الزمنية الرياضية
15	6-3 مركبة الاتجاه العام
19	7-3 منهجية (Box-Jenkins) في تحليل السلاسل الزمنية
29	8-3 خطوات بناء النموذج المناسب للبيانات
<b>الفصل الرابع: الجانب التطبيقي</b>	
34	1-4 تمهيد
34	2-4 السلسلة الأولى (الحوادث البسيطة)
46	3-4 السلسلة الثانية (الحوادث الجسيمة)
58	4-4 السلسلة الثالثة (حوادث الموت)
<b>الفصل الخامس: النتائج والتوصيات</b>	
69	1-5 النتائج
72	2-5 التوصيات
	المصادر والمراجع

## فهرس الجداول

الصفحة	الجدول	الرقم
35	حوادث الأذى البسيط من العام 2006 إلى 2013 م	(1-4)
35	وصف السلسلة	(2-4)
37	قيم الارتباطات (حوادث البسيط)	(3-4)
39	قيم الارتباطات بعدأخذ الفرق الأول	(4-4)
40	قيم الارتباطات الجزئية بعدأخذ الفرق الأول	(5-4)
41	قيم المعلمات المقدرة	(6-4)
42	نتيجة اختبار Runs test عشوائية الأخطاء	(7-4)
45	التنبؤ بحوادث البسيط للعام 2014	(8-4)
46	حوادث الأذى الجسيم من العام 2006 إلى 2013 م	(9-4)
47	وصف السلسلة	(10-4)
49	قيم الارتباطات (الحوادث الجسيمة)	(11-4)
51	قيم الارتباطات الجزئية (الحوادث الجسيمة) بعدأخذ الفرق	(12-4)
52	قيم الارتباطات الجزئية بعدأخذ الفرق	(13-4)
53	قيم المعلمات المقدرة	(14-4)
54	نتيجة اختبار Runs test عشوائية الأخطاء	(15-4)
57	التنبؤ بحوادث الجسيم للعام 2014	(16-4)
58	حوادث الموت من العام 2006 إلى 2013 م	(17-4)
59	وصف السلسلة	(18-4)
60	قيم الارتباطات (حوادث الموت)	(19-4)
62	قيم الارتباطات (حوادث الموت) بعدأخذ الفرق الثاني	(20-4)
64	قيم الارتباطات بعدأخذ الفرق الثاني	(21-4)
65	قيم المعلمات المقدرة	(22-4)
66	نتيجة اختبار Runs test عشوائية الأخطاء	(23-4)



## فهرس الأشكال

الصفحة	الشكل	الرقم
36	اتجاه السلسلة الزمنية (حوادث البسيط)	(1-4)
36	دالة الارتباط الذاتي للسلسلة الزمنية	(2-4)
38	اتجاه السلسلة الزمنية بعد أخذ الفرق الاول(حوادث البسيط)	(3-4)
38	دالة الارتباط الذاتي للسلسلة الزمنية بعد اخذ الفرق الاول	(4-4)
39	دالة الارتباط الذاتي الجزئي للسلسلة الزمنية	(5-4)
44	رسم الباقي عن طريق استخدام الاحتمال الطبيعي Normal Probability Plot	(6-4)
44	رسم الباقي عن طريق إستخدام المضلع التكراري Histogram	(7-4)
47	اتجاه السلسلة الزمنية	(8-4)
48	دالة الارتباط الذاتي للسلسلة الزمنية	(9-4)
49	اتجاه السلسلة الزمنية بعد أخذ الفرق الاول	(10-4)
50	دالة الارتباط الذاتي للسلسلة الزمنية بعد اخذ الفرق الاول	(11-4)
52	دالة الارتباط الذاتي الجزئي للسلسلة الزمنية	(12-4)
56	رسم الباقي عن طريق إستخدام الإحتمال الطبيعي Normal Probability Plot	(13-4)
56	رسم الباقي عن طريق إستخدام المضلع التكراري Histogram	(14-4)
59	اتجاه السلسلة الزمنية	(15-4)
60	دالة الارتباط الذاتي للسلسلة الزمنية	(16-4)
61	اتجاه السلسلة الزمنية بعد أخذ الفرق الاول	(17-4)
62	دالة الارتباط الذاتي للسلسلة الزمنية بعد اخذ الفرق الثاني	(18-4)
63	دالة الارتباط الذاتي الجزئي للسلسلة الزمنية	(19-4)
68	رسم الباقي عن طريق إستخدام الإحتمال الطبيعي Normal Probability Plot	(20-4)
69	رسم الباقي عن طريق إستخدام المضلع التكراري Histogram	(21-4)

# الفصل الأول

## المقدمة

### 1-1 تمهيد

يعتبر موضوع تحليل السلسل الزمنية من الموضوعات الإحصائية المهمة في تحليل الكثير من الظواهر، السلسلة الزمنية عبارة عن مجموعة من المشاهدات أخذت على فترات زمنية نتيجة تعقب هذه الظاهرة لفترة زمنية طويلة نسبياً وفي أغلب الأحيان تكون هذه الفترة الزمنية منتظمة.

وتلخص أهم أهداف تحليل السلسلة الزمنية في الحصول على وصف دقيق للسلسلة الزمنية وبناء نموذج مناسب لتقدير سلوك السلسلة الزمنية وإستخدام النتائج للتنبؤ بسلوك السلسلة الزمنية في المستقبل.

نظراً لما شهده السودان من نمو سكاني ملحوظ وترزید في عدد المركبات بكل أنواعها نجد أن أهمية الحركة المرورية ودورها في التأثيرات على التطور والتقدم الحضاري في الدول ومالها من أهمية في تحقيق السلامة لحياة المواطنين والحفاظ على أرواحهم لذلك يتطلب علينا بإعداد دراسات وتطبيقات إحصائية على حوادث الحركة المرورية نتيجة لزيادة أعداد المركبات التي تؤدي إلى ضياع حياة المواطنين وغيرها تؤدي إلى الجروح والإصابات المختلفة. مما يجعل المعالجة الإحصائية لحوادث الحركة المرورية وتكوين نموذج أو نماذج إحصائية باستخدام تحليل السلسل الزمنية يمكن الجهات المختصة من تحليل الظاهرة وتحديد اتجاهاتها المستقبلية ووضع الخطط الازمة لها.

## 2-1 مشكلة البحث:

تتمثل مشكلة البحث في عدم وجود نموذج بحوادث الحركة المرورية في ولاية الخرطوم، وفي السنوات الأخيرة وفي ظل النشاط الاقتصادي الذي تشهده البلاد نلاحظ بعض التغيرات التي طرأت على الطرق الرئيسية والفرعية وتعبيد عدة طرق أخرى تم تشييدها مما سهل حركة المرور للمواطن ولكن نلاحظ رغم ذلك كثرة الحوادث والتي تتبعها خسارة في الأرواح وأخرى مادية، وهنا تكمن أهمية البحث في تطبيق الأساليب الإحصائية الحديثة للتتبؤ بتلك الحوادث وحتى تضع الجهات المسئولة خطة سلية لتقادي هذه الخسائر. وعليه فإن نموذج مبني على أساس معلومات سابقة يعين الجهات المختصة لتقادي الكثير من الأضرار التي قد تحدث من جهة ومعرفة الاتجاهات المستقبلية للظاهرة ووضع الخطط الازمة لها.

## 3-1 أهداف البحث

يهدف البحث إلى اقتراح نماذج توضح حوادث المرور في ولاية الخرطوم باستخدام تحليل السلسل الزمنية وبناء النموذج يمكن الجهات القائمة على هذه الظاهرة من معرفة كثرة الحوادث المرورية وكيفية تقadiها واتجاهاتها المستقبلية ووضع الخطط الازمة لها.

## 4-1 أهمية البحث

تأتي أهمية البحث من خلال إتباع أسلوب علمي متقدم لبناء نموذج إحصائي يمكن الجهات القائمة على الحركة والجهات التخطيطية الأخرى من معرفة ما تؤول إليه الظاهرة في المستقبل (استشراف المستقبل) ووضع الحلول الازمة للسيطرة على الظاهرة.

## 5-1 فروض البحث

1. السلسلة الزمنية التي تمثل حوادث المرور (البسيط) هي سلسلة أحادية طبيعية ساكنة.
2. السلسلة الزمنية التي تمثل حوادث المرور (الجسيم) هي سلسلة أحادية طبيعية ساكنة.
3. السلسلة الزمنية التي تمثل حوادث المرور (الموت) هي سلسلة أحادية طبيعية ساكنة.

## 6-1 حدود البحث

الحد الزمني: الفترة من 2006م - 2013م مأخوذة على أساس شهري وبذلك سيكون طول السلسلة (96 شهرًا).

الحد المكاني: حدود ولاية الخرطوم.

## 7-1 منهجية البحث

يستخدم البحث المنهج التحليلي الاستنتاجي لبناء نماذج إحصائية معتمدة على النظرية الإحصائية.

## 8-1 الدراسات السابقة

1. في العام 2006م أعد الطالب أكرم عبد الدائم محمد [1] بحث لنيل درجة الماجستير في الإحصاء التطبيقي من جامعة السودان للعلوم والتكنولوجيا عن الإصابة بمرض السرطان، وهدف البحث إلى دراسة مرض السرطان في السودان للفترة من يناير 2002م إلى ديسمبر 2004م، وقد بلغت الإصابات في هذه الفترة 10088 حالة، وقد توصل البحث إلى أن النموذج المناسب لتغير عدد من الإصابات بالسرطان في السودان هو نموذج المتوسطات المتحركة من الرتبة الأولى (MA(1)).

2. في العام 2006م أعد الطالب Ablent Kuany Jok [2] بحث لنيل درجة الماجستير في الإحصاء التطبيقي من جامعة السودان للعلوم والتكنولوجيا عن الأمطار في ولاية القضارف. وقد هدف البحث إلى إيجاد نموذج مناسب لتغير كمية الأمطار الشهرية في ولاية القضارف. وقد توصل البحث إلى أن النموذج المناسب لتقدير كمية الأمطار الشهرية في ولاية القضارف هو النموذج الموسمي المضاعف  $(6, 11, 1, 0) \times (5, 1, 0)$ .

ARIMA

3. في العام 2007م أعد الطالب الشيخ ادريس الطيب [3] بحث لنيل درجة الماجستير في الإحصاء التطبيقي من جامعة السودان للعلوم والتكنولوجيا بعنوان: (دراسة النماذج الإحصائية لإنجاح الطاقة الكهربائية في السودان).

وقد توصل البحث إلى أن النموذج المناسب لتقدير إنتاج الطاقة الكهربائية في السودان هو النموذج  $(1, 1, 1)$ .

وقد أوصى الباحث بأن تقوم الجهات المستفيدة ذات الصلة كالهيئة القومية للكهرباء بتطبيق نماذج تحليل السلسل الزمنية للتنبؤ بالطاقة الكهربائية المستهلكة مستقبلاً وهذا يساعد في التخطيط السليم للمستقبل، وكذلك البحث عن نماذج إحصائية أكثر شمولاً وذلك بمحاولة الحصول على متغيرات أكثر ذات علاقة بإنتاج الكهرباء وإدخالها في النماذج مثل تكلفة الإنتاج وسعر إنتاج الوحدة، وهذا من شأنه أن يجعل التنبؤ أكثر دقة.

4. في العام 2009م أعد الطالب منتصر أحمد عثمان [4] بحث لنيل درجة الماجستير في الإحصاء التطبيقي من جامعة السودان للعلوم والتكنولوجيا بعنوان: (استخدام تحليل السلسل الزمنية للتنبؤ بكمية الأمطار في ولاية

كولا). وقد توصل الباحث من خلال البحث أن كميات الأمطار السنوية في ولاية كولا خلال الفترة 1960م – 2007م تمثل سلسلة خطية ساكنة. النموذج المناسب للاستخدام في التنبؤ بكميات الأمطار في ولاية كولا هو نموذج (AR (1)).

ويتمكن استخدام النموذج الذي تم تقاديره في التنبؤ بكميات الأمطار في ولاية كولا لأن النموذج الأنسب وأن الأخطاء الناتجة من تطبيقه تتبع التوزيع الطبيعي ومستقلة.

5. في عام 2009م أعدت الطالبة رشا شمس الدين محبوب [5] بحث لنيل درجة الماجستير في الإحصاء التطبيقي من جامعة السودان للعلوم والتكنولوجيا بعنوان: (تطبيق نماذج بوكس جنكنز للتنبؤ بتكلفة الحالات المحولة بالتأمين الصحي). وقد توصل البحث إلى أن بيانات تكلفة الحالات المحولة من الولايات بالتأمين الصحي يمكن تحليلها بواسطة السلسلة الزمنية باستخدام نماذج بوكس جنكنز.

وأن بيانات تكلفة الحالات المحولة من الولايات بالتأمين الصحي غير ساكنة حيث تحوي اتجاه عام وأصبحت ساكنة بعد أخذ الفرق الأول.

أفضل نموذج لتمثيل بيانات تكلفة الحالات المحولة من الولايات بالتأمين الصحي هو ((ARIMA (1, 1, 3))) يمكن استخدام النموذج الذي تم تقاديره في التنبؤ بتكلفة الحالات المحولة من الولايات بالتأمين الصحي.

6. في العام 2010م أعدت الطالبة انتصار أبو تلة بشير ادريس [6] بحث لنيل درجة الماجستير في الإحصاء التطبيقي من جامعة السودان للعلوم والتكنولوجيا بعنوان: (استخدام تحليل السلسلة الزمنية لبناء نماذج حوادث الحركة بولاية الخرطوم)، وقد هدف البحث إلى اقتراح نموذج يوضح حوادث الحركة في ولاية الخرطوم للفترة من 1993م – 1998م مأخوذة

على أساس شهري، وقد توصل إلى أن السلسلة الزمنية قيد البحث هي سلسل بعضها مستقرة والبعض الآخر غير مستقر مما تطلب تحويلها إلى سلسل مستقرة. وأن النموذج الإحصائي لسلسلة الحوادث البسيطة هو نموذج الانحدار الذاتي Autoregressive Model من الدرجة الأولى (AR (1)) والنموذج الإحصائي لسلسلة الحوادث الجسيمة نموذج الأوساط المتحركة Moving Average Model من الدرجة الثانية (ARIMA (0, 1, 2)) (IMA (1, 2)) والنموذج الإحصائي لحوادث الموت نموذج الأوساط المتحركة Moving Average Model من الدرجة الأولى (ARIMA (0, 1, 1)) أو (IMA (1, 1)).

## 9-1 هكلية البحث

يضم البحث خمسة فصول، الفصل الأول المقدمة يضم التمهيد ومشكلة وهدف وفرض وأهمية وحدود البحث وبعض الدراسات والبحوث السابقة، ويضم الفصل الثاني الإطار النظري لحوادث المرور (أنواعها وأسبابها) ويضم الفصل الثالث تحليل السلسلة الزمنية ويوضح مراحل التحليل ونماذج تحليل السلسلة الزمنية، ويضم الفصل الرابع الجانب العملي، وخصص الفصل الخامس لأهم الاستنتاجات والتوصيات.

## الفصل الثاني

### حوادث المرور

#### 2-1 أنواع حوادث المرور (1)

تتنوع حوادث المرور بحسب معايير كثيرة منها ما يرتبط بالكيفية ومنها ما يرتبط بالجسامية، ومنها ما يتعلق بالمكان والزمان، ومنها ما يرتبط بالجنسية وبعض الصفات الشخصية للسائقين، ومنها ما يرتبط بأسباب الحوادث.

نجد أن التوزيع بحسب الكيفية أعم وأشمل لذلك سنعرض فيما يلي توضيحاً بسيطاً لكل نوع من أنواع حوادث المرور:

##### 2-1-1 حادث التصادم:

فيه يتم التصادم بين مركبة ومركبة أخرى وهو أكثر من تصادم المركبة بجسم ثابت.

##### 2-1-2 حادث الدهس:

يشمل ذلك المشاة والحيوانات وهناك تباين في عدد الحوادث التي تحدث للمشاة وتلك التي تحدث للحيوانات، ويرجع ذلك لقلة الحيوانات في المدينة.

##### 2-1-3 حوادث الانقلاب:

تعزى هذه الحوادث إلى أسباب كثيرة منها ما يتعلق بالسائق كالسرعة والخطي غير الصحيح، الانشغال بغير الطريق، وتعاطي المسكرات والمخدرات وهناك أسباب تتعلق بالمركبة.

---

(1) أساليب ووسائل الحد من حوادث المرور (الندوة العلمية الاربعون)، أكاديمية ذايف للعلوم الأمنية، الرياض، 1418هـ-1997م، مركز الدراسات والبحوث.

## 2-1-4 الخروج عن الطريق:

ينتج هذا النوع من الحوادث غالباً عن السائق كالنوم، السرحان، المرض المفاجئ، أو الحالة الصحية.

## 2-2 أسباب حوادث المرور <sup>(1)</sup>

إن من الأهداف التي ينشدتها التحقيق في حوادث المرور معرفة أسباب وقوع الحادث.

والحوادث كنتيجة لأسبابها الناشئة عن تفاعل العوامل المختلفة في مكان وقوع الحادث يمكن إرجاعها إلى:

### 2-2-1 العنصر البشري:

من المعلوم أن السائق يعد من العوامل المسيبة للحوادث المرورية بل أكثرها، وتعد صور تسبب الإنسان في الحوادث باختلاف دوره في الطريق سواءً كان سائقاً أو راكباً أو ماشياً.

أولاً: السائق:

1. السرعة.
2. الإهمال وعدم المعرفة والتقدير.
3. مخالفة القانون (المخالفات المرورية).
4. تعاطي المخدرات والمسكرات وبعض العقاقير الطبية.

---

(1) حسن، سيف الدين عوض، نظام المرور في السودان (الواقع والرؤية المستقبلية)، 1999-2000م، بحث لنيل زمالة أكاديمية الشرطة العليا.

### ثانياً: المشاة:

هم عنصر هام في حركة المرور، ومن الصور التي تبين مدى تسبب المشاة في الحوادث:

- عدم استخدام أماكن عبور المشاة.
- عدم الالتزام بالسير على أرصفة الطريق واستخدام نهر الطريق.
- استخدام وسائل النقل العام بأسلوب خاطئ.
- الأسلوب غير الصحيح في الدخول أو الخروج من وإلى الأماكن العامة خاصة ذات الجمهور الضخم.
- إتلاف الأجهزة والمعدات التي تجهز بها الطريق لتنظيم حركة المرور.
- عدم العناية بنظافة الطريق وإلقاء ما من شأنه أن يعيق حركة المرور.
- البيع على الطرقات سواء على الأرصفة أو على الممرات الجانبية.
- الوقوف في منتصف الطريق بحثاً عن وسيلة مواصلات.
- جهل المشاة بمدلول الإشارات الضوئية والخطوط الأرضية والعلامات المرورية عامة وما يخص المشاة خاصة.

### ثالثاً: الراكب:

صور الأخطاء التي يقع فيها الراكب:

1. عدم المبالاة أو الاحتياط أثناء ركوب المركبات الكاشفة.
2. عدم الالتزام باستعمال أدوات السلامة.
3. إشغال الراكب للسائق بأمور الوقت غير المناسب لمناقشتها.
4. ركوب عدد أكثر من المطلوب.

## 2-2-2 الطريقة:

إن السلامة المرورية في الطريق لا تعتمد فقط على العامل البشري فقد يكون لسوء تصميم الطريق أو إنشاؤه أو تجهيزه بمعدات الأثر السيئ على سلامة المرور.

ومن صور الأسباب التي ترجع للطريق:

- القصور في تصميم الطريق.
- المنحدرات الحادة أو المرتفعات أو المنحدرات.
- الإشغالات الكثيرة الموجودة على الطريق.
- غياب وسائل التحكم من وسائل إشارات ضوئية علامة ولوحات تحذير مرورية وغيرها.
- سوء إنارة الطريق.

## 2-2-3 المركبة:

- المركبة آلة صماء مسخرة حسب الاستعمال، وتعتبر من العناصر المسببة للحادث المروري.
- عدم تزويد المركبة بوسائل السلامة والأمان كأحزمة الأمان وأبواب الطوارئ التي تستخدم لإنقاذ الركاب عند وقوع حوادث المرور.
- التصميم غير الصحيح للمركبة.

## 2-2-4 عوامل بيئية:

وهذه العوامل يمكن أن يكون لها دور في وقوع حوادث المرور وخاصة الرياح الشديدة والعواصف.

## الفصل الثالث

### السلالس الزمنية

#### 1-3 تعريف السلالس الزمنية

تعرف السلسلة الزمنية عادة بأنها عبارة عن فئة أو سلسلة من المشاهدات أو الأحداث المتتابعة لظاهره معينة مأخوذة على فترات محددة من الزمن عادة تكون فترات متساوية وفقاً لحدوثها (سنة، فصل، شهر، أسبوع، يوم، ... إلخ).

فمثلاً إذا كان  $Y_i$  حيث ( $i = 1, 2, \dots, n$ ) عبارة عن مشاهدات متتابعة لظاهره معينة وقعت في الزمن ( $t_i$ ) حيث ( $i = 1, 2, \dots, n$ ) مما يعني أن هناك سلسلة من المشاهدات  $Y_i$  مرتبة وفق زمن الحدوث ( $t_i$ ) وهي عبارة عن أزواج مرتبة، أي:

$$(t_1, Y_1), (t_2, Y_2), \dots, \dots, \dots, (t_n, Y_n)$$

ففي حالة بيانات هذه الدراسة فالمشاهدات عبارة عن معدلات حوادث المرور في ولاية الخرطوم للسنوات 2006-2013م

الشهر	يناير 2006	فبراير 2006	مارس 2006	.....	.....	.....	ديسمبر 2013
عدد الحوادث	396	408	463	.....	.....	.....	398

## 3-2 أهداف تحليل السلسلة الزمنية

- 1) تحديد طبيعة الظاهرة من خلال المشاهدات المتتابعة.
- 2) إنشاء نموذج لتفسير وشرح سلوك السلسلة بدلالة متغيرات أخرى بربط القيم المشاهدة ببعض قواعد السلسلة.
- 3) التنبؤ بسلوك السلسلة في المستقبل وذلك اعتماداً على معلومات الماضي.
- 4) التحكم في العملية التي تولد منها السلسلة الزمنية.

## 3-3 وصف السلسلة الزمنية

يتم وصف السلسلة الزمنية عادة عن طريق تمثيلها بيانياً بغرض الحصول على صورة عامة وواضحة لسلوك السلسلة في الفترات الزمنية المختلفة، ويكون المحور الأفقي ممثلاً للزمن والمحور الرأسي للحوادث.

وفي هذه الدراسة سيكون المحور الأفقي ممثلاً للشهور من 2006-2013م أما المحور الرأسي فيمثل عدد حوادث المرور بولاية الخرطوم للشهور المذكورة.

ونتعرف من الرسم البياني على الأمور التالية:

- 1) يمكن تحديد اتجاه السلسلة من حيث هل هي متزايدة، متافقية أم ثابتة.
- 2) التعرف على القيم المتطرفة في السلسلة الزمنية، والتغيرات المتكررة ووصف هذه التغيرات.
- 3) معرفة العلاقة بين الفترات التي يكون فيها لهذه السلسلة قمة (قيمة عظمى) وقاع (قيمة صغرى).
- 4) توضيح مدى خشونة السلسلة ومدى ترابط قيم السلطة مع بعضها البعض.

### 3-4 مكونات السلسلة الزمنية

تصنف المتغيرات التي تؤثر في السلسلة الزمنية إلى صنفين هما:

أولاً: التغيرات المنتظمة:

وهي التغيرات التي يتكرر ظهورها في السلسلة في مواضع ذات صفات محددة، وتقسم هذه التغيرات إلى:

long Trend (T) (أ) مركبة الاتجاه العام، ويرمز لها:

Cyclical Movements (M) (ب) المركبة الدورية "التغيرات الدورية":

Seasonal Movements (S) (ج) المركبة الموسمية "التغيرات الموسمية":

ثانياً: التغيرات الغير منتظمة:

غيرات عرضية أو عشوائية (I) Irregular or Random Variation (I)

### 3-5 نماذج السلسلة الزمنية الرياضية

كما نعلم أن مكونات السلسلة الزمنية هي مرکبة الاتجاه العام (T)، والمرکبة الفصلية (S)، والمرکبة الدورية (C)، والمرکبة العشوائية (I).

والغرض الأساسي من تحليل السلسلة الزمنية هو تفكيك السلسلة إلى أجزاءها الأساسية التي تعكس الاتجاه العام والحركات الدورية والحركات الشاذة، ولذلك فإننا نحاول إظهار مقدار كل منها على حدة.

هناك عدة نماذج رياضية تصف السلسلة الزمنية، من أبرزها النموذج الضريبي والنموذج الجمعي.

### 1-5-3 النموذج الضري

في النموذج الضري نفترض أن متغير السلسلة الزمنية  $Y_t$  هو عبارة عن حاصل ضرب المتغيرات  $(T, C, S, I)$ ، أي أن:

$$Y_t = T_t \times C_t \times S_t \times I_t$$

ويمكن الحصول على تقدير لإحدى المركبات أو أكثر كالتالي:

$$Y_t / (T_t \times S_t) = C_t \times I_t$$

أو:

$$Y_t / T_t = S_t \times C_t \times I_t$$

ويستعمل هذا النموذج في الحالات التي تكون فيها المركبات  $(S, C, I)$  معطاة أو مطلوبة على صورة نسب أو أرقام قياسية بدلاً من قيم موجبة أو سالبة، حيث  $(I, T, S, C)$  ترمز للتغيرات الغير منتظمة، والتغيرات الدورية، والتغيرات الموسمية، ومركبة الاتجاه العام بالترتيب.

### 1-5-2 النموذج الجماعي:

أما النموذج الجماعي يفترض أن التأثيرات منفصلة وذات خاصية جماعية، والمتغيرات مستقلة عن بعضها البعض، بمعنى أن حدوث أحدها لا يؤثر في حدوث المركبات الأخرى، وأن وحدات القياس لكل المركبات يشابه وحدة القياس  $.Y_t$ .

إذن النموذج الجماعي هو:

$$Y_t = T_t + C_t + S_t + I_t$$

أما فصل المركبات عن بعضها البعض في النموذج الجمعي فيتم عن طريق الطرح، فمثلاً:

$$S_t = Y_t - (T_t + C_t + I_t)$$

### 3-6 مركبة الاتجاه العام

3-6-1 تعريف:

مركبة الاتجاه العام هو الخط الذي تسلكه بيانات السلسلة الزمنية في فترة زمنية طويلة نسبياً، وهي التغيرات التي تحدث مع التغير في الزمن.

والاتجاه العام يحدد صفة تزايده السلسلة الزمنية أو تناقصها أو ثباتها، ولهذا فإن الاتجاه العام للسلسلة الزمنية يوضح نمو السلسلة أو انكماسها.

وهنالك عدة عوامل تتغير مع الزمن وتكون سبباً في تحديد اتجاه السلسلة الزمنية، وأهم هذه العوامل هي:

- 1) التغير في الحجم والمواصفات الديموغرافية والتوزيع الجغرافي للسكان.
- 2) التطورات التقنية في البلد.
- 3) التطورات الاقتصادية.
- 4) التغيرات التدريجية في عادات وتصرفات الأفراد والمجتمعات.

وهذا بشكل عام ينطبق على أي خط اتجاه عام بالإضافة إلى عوامل أخرى قد تظهر مع سلسلة معينة أخرى.

### 3-6-2 طرق تقدير مركبة الاتجاه العام

هناك عدة طرق لوصف وتقدير مركبة الاتجاه العام، منها:

- |                     |                             |
|---------------------|-----------------------------|
| Scattered Method    | 1) طريقة الرسم البياني      |
| Moving Average      | 2) طريقة المتوسطات المتحركة |
| Least Square method | 3) طريقة المربيعات الصغرى   |
| Half Split Method   | 4) طريقة التجزيء النصفي     |

سنتناول بدون تعمق وبدون الخوض في التفاصيل تعريف كل طريقة من الطرق أعلاه، وكذلك كيفية تقدير مركبة الاتجاه العام.

أولاً: طريقة الرسم البياني:

في هذه الطريقة يمكن تقدير خط الاتجاه العام بيانيًا برسم خط أو منحنى ممهد باليد على ورق الرسم البياني، وقد يكون خط الاتجاه العام خط مستقيم أو منحنى يتوسط النقاط الحقيقية.

من مميزات هذه الطريقة أنها سريعة وسهلة التنفيذ.

أما من عيوبها فإنها تخضع للحكم الشخصي ولا تخضع لأي اعتبارات موضوعية، أي أن التقدير قد يختلف من شخص لآخر.

ثانياً: طريقة المتوسطات المتحركة:

الهدف الأساسي من إيجاد مركبة الاتجاه العام بطريقة المتوسطات المتحركة هو تقدير هذه المركبة عند النقاط الزمنية المختلفة، وكذلك التخلص من خشونة السلسلة الزمنية وتنعيمها، وذلك بالتخلص من التغيرات قصيرة المدى، ثم

تمثيلها بيانياً ومقارنتها مع السلسلة الأصلية، أما إيجاد معادلة الاتجاه العام ليس هو الهدف من هذه الطريقة.

عيوب هذه الطريقة:

1) فقدان بيانات في بداية ونهاية السلسلة الزمنية، لذلك لا تعطي تقديرات لمركبة الاتجاه العام عند أطراف السلسلة الزمنية الأصلية.

2) إذا كانت تغيرات الدورة غير منتظمة في سعتها وطولها فإن المتوسطات المتحركة لن تعطي صورة واضحة عن الاتجاه العام.

3) إذا كان الاتجاه العام ليس خطياً فإن المتوسطات المتحركة تؤدي إلى مركبة اتجاه منحازة عن القيم الواقعية.

لتلافي العيوب المذكورة أعلاه، وخاصة تحيز المتوسطات المتحركة خاصة في الحالات التي يكون فيها الاتجاه العام غير مستقيم، نلجأ إلى الطريقة الثالثة لتقدير خط الاتجاه العام.

ثالثاً: طريقة المربعات الصغرى:

يمكن استخدام هذه الطريقة لتحديد خط الاتجاه العام، وهي عبارة عن علاقة بين متغيرين.

ذكرنا فيما سبق أن البيانات أو المشاهدات عبارة عن سلسلة من القيم مرتبة وفق حدوثها، أي أنها زوج مرتب المشاهدة  $y_i$  مع الزمن  $t_i$  ، إذن هناك سلسلة من البيانات كالتالي:

$$(t_1, Y_1), (t_2, Y_2), \dots, (t_n, Y_n)$$

ما يعني أن هناك علاقة دالية بين  $(Y = f(t))$ ;  $(t_i, Y_i)$ ;  $(i = 1, 2, \dots, n)$ .

ويمكن تحويل هذه العلاقة إلى علاقة رياضية كالتالي:

$$Y_t = a + bt_i$$

حيث:

$Y_i$  يمثل معدل حوادث المرور ويعرف بالمتغير المعتمد.

$t_i$  يمثل الزمن المتغير المستقل.

$a$  (ثابت) الجزء المقطوع من المحور الرأسي.

$b$  يمثل معامل الزمن.

وبافتراض أن هناك متغيرات أخرى تؤثر في معدل الحوادث غير محددة، وتعرف بالمتغيرات العشوائية (مقدار الخطأ) ويرمز له بالرمز (U) فتضافة للنموذج، فيصبح كالتالي:

$$Y_i = a + b t_i + U_i$$

والنموذج أعلاه يعرف بنموذج الانحدار الخطي البسيط، وهذا النموذج يتم تقديره بعد الحصول على القيم المقدرة للمعلم (a, b)، حيث:

$$b = \frac{\sum_{i=1}^n Y_i t_i - n \bar{Y} \bar{t}}{\sum_{i=1}^n (t_i - \bar{t})^2}$$

$$a = \bar{Y} - b \bar{t}$$

رابعاً: طريقة التجزيء النصفي:

في هذه الطريقة تقسم البيانات إلى قسمين متساوين ويحسب متوسط كل قسم  $\bar{Y}_1$ ,  $\bar{Y}_2$  ومعادلة الاتجاه العام المقدرة هي:

$$\hat{Y} = \hat{\alpha} + \hat{\beta} (t - t_{\hat{\alpha}})$$

$$\hat{\alpha} = \bar{Y}_1$$

$$\hat{\beta} = \frac{\bar{Y}_2 - \bar{Y}_1}{m}$$

حيث:

$t_{\hat{\alpha}}$  : وحدة الزمن التي تقابل منتصف الفترة للقسم الأول

$m$  : المسافة من منتصف القسم الأول حتى منتصف القسم الثاني.

### 3-7 منهجة (Box-Jenkins) في تحليل السلسلة الزمنية:

تمهيد:

تحليل السلسلة الزمنية باستخدام نماذج (ARIMA) ذو المتغير الواحد هو أسلوب استخراج التغيرات المتوقعة للبيانات المشاهدة، حيث تتجزأ السلسلة الزمنية إلى عدة مكونات (عناصر) تسمى ثلاثة مرشحات خطية؛ مرشح السكون "المتكامل" Autoregressive Filter، مرشح الانحدار الذاتي Integrated Filter، ومرشح المتوسطات المتحركة Moving Averages.

ويتم تطبيق نماذج (ARIMA) فقط على السلسلة الساكنة.

### 3-7-1 سكون السلسلة الزمنية:

لاستخدام السلسلة الزمنية في التحليل والتبيؤ لا بد أن تكون السلسلة في حالة سكون (استقرار)، ويطلق على السلسلة أنها ساكنة إذا تحقق الآتي:

1) ثبات الوسط الحسابي.

2) ثبات التباين.

3) دالة الارتباط الذاتي تعتمد على الفجوة الزمنية ( $t, s$ ) فقط ( $s > t$ )

أي أن:

$$E(Z_t) = \mu$$

$$Var(Z_t) = E(Z_t - \mu)^2 = \sigma^2$$

$$\rho_{(s,t)} = \frac{Cov(Z_t, Z_s)}{Var(Z_t)} = \frac{E(Z_t - \mu)(Z_s - \mu)}{\sigma^2}$$

ويعتمد الارتباط الذاتي فقط على الفجوة الزمنية  $(t-s)$ .

ويتم إجراء تحويل مناسب للسلسلة الزمنية في حالة عدم ثبات التباين (عدم سكون السلسلة) وهناك عدة طرق للتحويل منها، تحويل لوغاريتمي، وتحويل الجذر التربيعي.

كما تستخدم طريقة الفروق (Differences) لإزالة تأثير الاتجاه العام من السلسلة الزمنية، حتى تستقر السلسلة الزمنية.

### 3-7-2 نماذج الانحدار الذاتي من الرتبة الأولى (First Order Autoregressive Model AR (1))

إذا كانت بيانات سلسلة زمانية ساكنة تتولد وفق عملية انحدار ذاتي من الرتبة الأولى فإن  $Z_t$  المشاهدة الحالية للسلسلة دالة خطية في المشاهدة السابقة لها،  $Z_{t-1}$  (تعتمد  $Z_t$  على  $Z_{t-1}$  مع وجود متغير عشوائي مستقل  $a_t$ ).

$$Z_t = \phi_1 Z_{t-1} + a_t \quad (1-3)$$

حيث  $\phi_1$  معلمة الانحدار الذاتي والتي تصف أثر المتغير  $Z_{t-1}$  بوحدة واحدة على  $Z_t$  وأن  $a_t$  متغير عشوائي مستقل يتبع التوزيع الطبيعي بوسط يساوي صفر وتبالين  $\sigma^2$  (ثابت) وأن  $a_t$  مستقل عن  $Z_{t-1}$ .

$$E(a_t) = 0$$

$$E(a_t, a_s) = \sigma_a^2 \quad , \forall t = s$$

$$Or \quad E(a_t, a_s) = 0, \forall t \neq s$$

$$\& \quad E(a_t, Z_{t-1}) = 0$$

ملاحظة:

أن المتغير  $Z_t$  هو عبارة عن انحرافات المشاهدات عن الوسط الحسابي

$$\begin{aligned} Z_t &= Y_t - \mu \\ Y_t &= (1 - \phi_1)\mu + \phi_1 Y_{t-1} + a_t \end{aligned} \quad (2-3)$$

المشاهدات  $Y_t$  حيث:  $\mu$  تمثل الوسط الحسابي، الجزء المقطوع (ثابت)  $(1 - \phi_1)\mu$

### 3-7-3 خواص نماذج AR(1)

(1) السكون:

ينطبق على النموذج شروط السكون، حيث نجد أن المتوسط والتباين ثابتين.

$$\begin{aligned} E(Z_t) &= E(\phi_{t-1} + a_t) \\ &= \phi_1 E(Z_{t-1}) + E(a_t) \\ &= \phi_1 E(Z_{t-1}) + 0 = 0 \end{aligned}$$

وذلك لأن:

$$\begin{aligned} E(Z_t) &= E(Y_t - \mu) = 0, +E(a_t) = 0 \\ var(Z_t) &= E(Z_t^2) = E(\phi_t Z_{t-1} + a_t)^2 \\ &= \phi_1^2 E(Z_{t-1})^2 + E(a_t)^2 \\ &= \phi_1^2 var(Z_{t-1}) + \sigma_a^2 \\ \Rightarrow var(Z_t) - \phi_1^2 var(Z_{t-1}) &= \sigma_a^2 \\ \Rightarrow var(Z_t) (1 - \phi_1^2) &= \sigma_a^2 \\ \Rightarrow var(Z_t) &= \frac{\sigma_a^2}{(1 - \phi_1^2)} \end{aligned} \quad (3-3)$$

وبما أن التباين دائماً له قيمة موجبة ولا يكون سالباً إذاً لا بد أن تكون  $|\emptyset_1| < 1$  أي أن:

$$var(Z_t) = \lambda_0 = \frac{\sigma_a^2}{(1 - \emptyset_1^2)} , \quad |\emptyset_1| < 1$$

وهذا يعني إذا كانت  $\emptyset_1$  أكبر من واحد، فالتباین سيكون سالباً، وكذلك إذا كانت  $\emptyset_1$  أكبر أو يساوي واحد لأصبح التباين لا نهائي، وهذا يخالف شروط السكون لذا دائماً  $|\emptyset_1| < 1$  ، وهذا القيد مهم لتحقيق شروط السكون.

## 2. التغایر الذاتي Auto Covariance

الذاتي للمتغير  $Z_t$  عند فجوة زمنية مقدارها واحد ويرمز له بالرمز  $\lambda_1$  هو التغایر بين  $Z_t$  ،  $Z_{t-1}$  ويساوي:

$$\begin{aligned} \lambda_1 &= cov(Z_t, Z_{t-1}) = E(Z_t, Z_{t-1}) - E(Z_t)E(Z_{t-1}) \\ &= E(Z_t, Z_{t-1}) = E\{(\emptyset_1 Z_{t-1} + a_t)Z_{t-1}\} \\ &= \emptyset_1 E(Z_{t-1})^2 + E(a_t Z_{t-1}) = \emptyset_1 \lambda_0 + 0 \\ &\Rightarrow \lambda_1 = \emptyset_1 \lambda_0 \\ &\therefore E(a_t Z_{t-1}) = 0 \end{aligned}$$

لأن  $a_t$  ،  $Z_{t-1}$  مستقلتين

وباستخدام المعادلة (3-3)

$$\lambda_1 = \emptyset_1 \frac{\sigma_a^2}{(1 - \emptyset_1^2)} \quad (4-3)$$

التغایر الذاتي عند فجوة زمنية مقدارها (2)

$$\lambda_2 = cov(Z_t, Z_{t-2}) = E(Z_t Z_{t-2}) = \emptyset_1^2 \lambda_1$$

التغير الذاتي عند فجوة زمنية مقدارها (3)

$$\lambda_3 = cov(Z_t, Z_{t-3}) = E(Z_t Z_{t-3}) = \phi_1^3 \lambda_2$$

وبصورة عامة يمكن التعبير عن  $\lambda_k$  حيث ...

$$\lambda_k = \phi_1^k \lambda_{k-1}$$

### 3. معامل الارتباط الذاتي Autocorrelation Coefficient

الارتباط الذاتي عند فجوة زمنية مقدارها ( $k$ ) هو النسبة بين التغير عند فجوة زمنية ( $k$ ) والتباين:

$$\rho = \lambda_k / \lambda_0 = (\phi_1^k \lambda_{k-1}) / (\phi_1 \lambda_0) = [\phi_1 \phi_1^{k-1} \lambda_0] / \lambda_0 = \phi_1^k, k > 0$$

### 4. دالة الذاكرة Memory Function

إن معامل الذاكرة يقيس أثر الخطأ العشوائي ( $a_t$ ) في الماضي على المشاهدة الحالية، ومعامل الذاكرة عند فجوة زمنية مقدارها واحد هو أثر المتغير العشوائي ( $a_{t-1}$ ) على المشاهدة الحالية ( $Z_t$ ).

وهكذا يمكن التعبير عن ذاكرة النموذج (1) AR بدلالة المتغيرات العشوائية السابقة كالتالي:

$$\begin{aligned} &= \phi_1^2 Z_{t-2} + \phi_1 a_{t-1} + a_t \\ &= \phi_1^3 Z_{t-3} + \phi_1^2 a_{t-2} + \phi_1 a_{t-1} + a_t \\ &\quad \cdot \quad \cdot \quad \cdot \\ &= a_t + \phi_1 a_{t-1} + \phi_1^2 a_{t-2} + \phi_1^3 a_{t-3} + \dots \end{aligned}$$

$$Z_t = \sum_{k=0}^{\infty} \phi_1^k a_{t-k} \quad \text{أو:}$$

وبهذا يمكن اعتبار أن  $AR(1)$  له ذاكرة لا نهائية، ولكن تقيداً بشروط السكون فإن  $1 < |\phi_1|$  مما يجعل تأثير المتغيرات العشوائية تتضاءل كلما طالت الفترة الزمنية. وبهذا فإن معامل الذاكرة هو  $a_{t-1}$ ، وهذا يتفق مع الواقع، فتأثير مشاهدات الماضي القريب أكثر تأثيراً من مشاهدات الماضي البعيد.

### 3-7-4 نماذج انحدار ذاتي من رتبة أعلى Autoregressive Models with High Order

يمكن كتابة  $Z_t$  لتحتوي على مشاهدات أخرى حدثت في فترات سابقة ولها تأثير على المشاهدة الحالية  $Z_t$ ، في هذه الحالة يسمى بنموذج انحدار ذاتي ذو رتبة  $AR(p)$ ، أي

فمثلاً  $AR(2)$  على الصورة

$$Z_t = \phi_1 Z_{t-1} + \phi_2 Z_{t-2} + a_t \quad (5-3)$$

حيث  $\phi_1, \phi_2$  معامل انحدار ذاتي ذو رتبة  $(p=2)$  ويمكن كتابة (7) بدلالة المشاهدات الفعلية:

$$\begin{aligned} Y_t - \mu &= \phi_1(Y_{t-1} - \mu) + (Y_{t-2} - \mu) + a_t \\ Y_t &= (1 - \phi_1 - \phi_2) \mu + Y_{t-1} + Y_{t-2} + a_t \\ \delta &= (1 - \phi_1 - \phi_2) \mu \end{aligned}$$

$$Y_1 = \delta + Y_{t-1} + Y_{t-2} + a_t \quad (6-3)$$

و( $\delta$ ) هو مقدار الجزء المقطوع (ثابت).

وبصورة عامة يمكن كتابة النموذج من الرتبة  $(p)$  كالتالي:

$$Z_t = \phi_1 Z_{t-1} + \phi_2 Z_{t-2} + \dots + a_t \quad (7-3)$$

### 3-7-5 نماذج المتوسطات المتحركة MA (q)

النموذج الذي يعبر عن المشاهدة الحالية ( $Z_t$ ) بدلالة المتغيرات العشوائية ( $Z_t$ )، أي أن ( $Z_t$ ) دالة خطية في المتغيرات العشوائية، ويطلق عليه نموذج متوسط متحرك ذو رتبة ( $q$ ) وكتابه بالصورة الآتية:

$$Z_t = -\theta_1 a_{t-1} - \theta_2 a_{t-2} - \cdots - \theta_q a_{t-q} - a_t$$

أو:

$$Y_t = \mu - \theta_1 a_{t-1} - \theta_2 a_{t-2} - \cdots - \theta_q a_{t-q} + a_t$$

وذلك لأن ( $Z_t = Y_t - \mu$ )

### 3-7-6 نموذج المتوسطات المتحركة من الرتبة الأولى MA (1)

في هذا النموذج العلاقة بين المشاهدة الحالية ( $Z_t$ ) والأخطاء العشوائية ( $a_t$ ) الحالي والسابق ( $a_{t-1}$ ) فيتم حذف ( $Z_{t-1}$ ) المشاهدة السابقة، فيكتب النموذج على الصورة التالية:

$$Z_t = a_t - \theta_1 a_{t-1}$$

حيث ( $\theta_1$ ) هي معلمة المتغيرات المتحركة (قيمة ثابتة)، و( $a_t$ )، و( $a_{t+1}$ ) متغيرات عشوائية حالية وسابقة وهي مستقلة عن بعضها البعض ولها توزيع طبيعي بمتوسط صفر وتبالين ( $\sigma_a^2$ )، أي أن:

$$E(a_t) = 0$$

$$E(a_t, a_s) = \sigma_a^2 \quad , \quad \forall t = s$$

$$Or: \quad E(a_t, a_s) = 0 \quad , \quad \forall t \neq s$$

$$\& \quad E(a_t, Z_{t-1}) = 0$$

### 3-7-7 خواص ومميزات نماذج MA(1)

1. المتوسط والتباين:

بما أن:

$$\begin{aligned}
 Z_t &= a_t - \theta_1 a_{t-1} \\
 E(Z_t) &= (a_t - \theta_1 a_{t-1}) = 0 \\
 V(Z_t) &= V(a_t - \theta_1 a_{t-1}) = E(a_t - \theta_1 a_{t-1})^2 \\
 &= E[a_t^2 + \theta_1^2 a_{t-1}^2] \\
 &= \sigma_a^2 + \theta_1^2 \sigma_a^2 = (1 + \theta_1^2) \sigma_a^2
 \end{aligned}$$

2. التغير الذاتي:

$$\begin{aligned}
 \lambda_0 &= cov(Z_t, Z_{t-1}) = \\
 E(Z_t Z_{t-1}) - E(Z_t) E(Z_{t-1}) &= E(Z_t, Z_{t-1}) - 0
 \end{aligned}$$

لأن:

$$\begin{aligned}
 E(Z_t) &= E(Z_{t-1}) = 0 \\
 \lambda_1 &= E[(a_t - \theta_1 a_{t-1})(a_{t-1} - \theta_1 a_{t-2})] = -\theta_1 \sigma_a^2 \\
 \lambda_1 &= cov(Z_t, Z_{t-2}) = E(Z_t Z_{t-2}) - E(Z_t) E(Z_{t-2}) = E(Z_t, Z_{t-2}) = 0 \\
 \therefore \lambda_2 &= 0
 \end{aligned}$$

### 3. معامل الارتباط لـ MA(1)

$$\begin{aligned}
 \rho_k &= \lambda_k / \lambda_0 \\
 \rho_1 &= \lambda_1 / \lambda_0 = (-\theta_1 \sigma_a^2) / (1 + \theta_1^2) \sigma_a^2 = -\theta_1 / (1 + \theta_1^2) \\
 \rho_2 &= 0 \\
 \rho_k &= -\theta_1 / (1 + \theta_1^2) \quad , \quad if \quad k = 1 \\
 \rho_k &= 0 \quad , \quad if \quad k > 1
 \end{aligned}$$

#### 4. دالة الذاكرة Memory Function

من تعريف معامل الذاكرة نجد أن تأثير المتغير العشوائي ( $a_t$ ) يدوم لفترة واحدة فقط من نموذج (1) وهو معامل ( $a_{t-1}$ ) الذي يساوي  $(-\theta_1)$ .

#### 3-7-8 نموذج المتوسطات المتحركات من رتبة أعلى $[MA(q)]$

يمكن التوسيع في نموذج (1)  $MA(q)$  حتى الرتبة ( $q$ )، و  $0 < q$ ، ويكتب على الصورة:

$$Z_t = a_t - \theta_1 a_{t-1} - \theta_2 a_{t-2} - \cdots - \theta_q a_{t-q}$$

وهذا يعني أن تأثير المتغير العشوائي ( $a_t$ ) يستمر حتى ( $q$ ) من الفترات.

#### 3-7-9 نماذج الانحدار الذاتي والمتوسطات المتحركة المختلطة $ARMA(p, q)$

تكتب نماذج  $ARMA(p, q)$  بالصيغة التالية:

$$= a_{t-q} + \cdots - \theta_q a_{t-2} - \theta_2 a_{t-1} - \theta_1 a_t Z_{t-p} \theta_p Z_{t-2} + \cdots - \theta_2 Z_{t-1} \theta_1 Z_t$$

حيث ( $p$ ) تشير إلى عدد معالم الانحدار الذاتي و( $q$ ) إلى معالم المتوسطات المتحركة.

ومن فوائد النموذج المختلط أنه يؤدي إلى تخفيض في معالم النموذج.

#### 3-7-10 خواص ومميزات $ARMA(1,1)$

يمكن إيجاد كل من المتوسط والتباين لهذا النموذج

(1) المتوسط:

$$E(Z_t) = E[-\theta_1 Z_{t-1} - \theta_2 a_{t-1} + a_t] = 0$$

(2) التباين:

$$\begin{aligned}\lambda_0 &= V(Z_t) = E(Z_t)^2 = E(\emptyset_1 Z_{t-1} - \theta_1 a_{t-1} + a_t)^2 \\ &= [(1 + \theta_1^2 - 2\theta_1 \emptyset_1) \delta_a^2] / (1 + \emptyset_1^2)^2\end{aligned}$$

(3) التغاير الذاتي:

$$\lambda_s = cov(Z_t, Z_{t-s}) = E(Z_t Z_{t-s}) - E(Z_t) E(Z_{t-s})$$

$$\lambda_s = [(1 - \theta_1 \emptyset_1)(\emptyset_1 - \theta_1 \sigma_a^2)] \quad if s = 1$$

Or

$$\lambda_s = \{\emptyset_1 \lambda_{s-1} = \emptyset_1^{k-1} \lambda_1\} \quad if s = 2, 3, \dots, n/2$$

(4) الارتباط الذاتي:

$$\rho_s = \frac{\lambda_s}{\lambda_0} = \frac{[(1 - \emptyset_1 \theta_1)(\emptyset_1 - \theta_1)]}{[1 + \theta_1^2 - 2\emptyset_1 \theta_1]} \quad if s = 1$$

$$\rho_s = \emptyset_1 \rho_{s-1} = \emptyset_1^{k-1} \rho_1 \quad if s = 2, 3, \dots, n/2$$

(5) شروط السكون:

تعتبر (1, 1) ARMA ساكنة عند تحقيق الشروط التالية:

1.  $|\emptyset_1| < 1$  ,  $|\theta_1| < 1$
2.  $|\emptyset_1 \pm \theta_1| < 1$

(6) معالم الذاكرة:

إن نماذج (1, 1) ARMA تتمتع بذاكرة طويلة ولكن بتطبيق شروط السكون المذكورة أعلاه تكون معلم الذاكرة  $\emptyset_1 - \theta_1$ .

ويمكن توسيع نموذج (1, 1) ARMA إلى رتب أعلى  $[p > 1, q > 1]$  و  $ARMA(p, q)$  ويتم إيجاد خواص ومميزات النموذج.

### ARIMA (p, d, q) نماذج 11-7-3

كما نعلم أنه لا يمكن تطبيق نماذج ARMA إلا في حالة عدم سكون السلسلة، ولتسكين السلسلة الغير ساكنة يجبأخذ فروق للسلسلة، ويسمى النموذج في هذه الحالة بنموذج الانحدار الذاتي والمتوسطات المتحركة التكمالية ARIMA (p, d, q) حيث تشير (p) إلى رتبة الانحدار الذاتي، و(d) إلى الفروق، و(q) إلى رتبة المتوسطات المتحركة وأن  $W_t = \theta(B)^{-1}(B)a = \theta(B)^{-1}Z_t$  هي الصورة العامة لنماذج ARIMA (p, d, q) وأن  $W_t = \nabla^d Z_t$  حيث  $\nabla^d$  هو عامل الفروق المتتالية لفروق الفروق، وأن  $W_t = \nabla^t Z_t = \nabla Z_t$  هو الفرق الأول، أي يمكن كتابته على الصورة  $W_t = \nabla^t Z_t = Z_t - Z_{t-1}$ ، وأن  $(B)$  هو مشغل (عامل) الإزاحة للخلف ( $B^k = Z_{t-k}$ ،  $BZ_t = Z_{t-1}$ ، *Backward shift Operator*)

#### 3-8 خطوات بناء النموذج المناسب للبيانات:

تمهيد:

لاختيار النموذج المناسب (الأفضل) من نماذج ARIMA (p, d, q) للبيانات المشاهدة وفق منهجة بوكس جنكنز يتم عبر خطوات مهمة وضروري، وذلك بعد التأكد من سكون السلسلة الذي يتضح سكونها أم لا من خلال رسم السلسلة، فإذا تبين أن المتوسط والتباين ثابتين، فهذا يعني سكون السلسلة، أما في حالة عدم سكون السلسلة يتمأخذ التحويلات والفروق المناسبة لتسكين السلسلة الذي يؤدي إلى ثبات المتوسط والتباين.

وخطوات بناء النموذج المناسب هي:

### أولاً: تحديد (تمييز) النموذج:

يم تحديد النموذج المناسب من نماذج ARIMA (p, d, q) ورتبته باستخدام دالة الارتباط الذاتي ودالة الارتباط الذاتي الجزئي، وفي حالة عدم التمكن أو التأكد من تحديد النموذج نلجأ إلى استخدام معيار الإعلام الذاتي (AIC).

$$AIC = n \ln \sigma_a^2 + 2k$$

حيث (k) هو رتبة النموذج، وقيمة (k) تحدد في حالة المشاهدات الفعلية

$$.k = p+d+q+1$$

أما في حالة انحراف المشاهدات الفعلية عن وسطها الحسابي فإن  $.k = p+d+q$

وبهذا المعيار يمكننا تحديد النموذج المناسب للبيانات وهو النموذج الذي يعطي أقل

$$.AIC$$
 قيمة.

### ثانياً: تقدير معالم النموذج:

بعد تحديد النموذج المناسب يتم تقدير معالم النموذج؛ أي إيجاد قيم كل من  $(\theta_1, \dots, \theta_q, \delta, Z_1, Z_2, \dots, Z_n, \emptyset_1, \dots, \emptyset_p)$ . وذلك باستخدام بيانات السلسلة

وهناك طرق عديدة لتقدير معالم النموذج: العزوم، وطريقة المربعات الصغرى الشرطية، وطريقة الإمكان الأعظم. وفي هذا البحث سنعتمد لتقدير المعالم على

برنامج *Minitab*

### ثالثاً: تشخيص واختبار النموذج:

تمهيد:

بعد تحديد النموذج والحصول على تقديرات المعالم يتم إجراء اختبارات على البوافي بغرض التأكيد من تحقيق فروض الخطأ، وهي أن  $a_t$  متغير عشوائي مستقل له توزيع طبيعي بمتوسط صفر وتبالين  $\sigma_a^2$  أي  $a_t \sim IIN(0, \sigma_a^2)$ .

وفي حالة تحقق الشروط أعلاه في النموذج مما يعني أن النموذج مناسب للبيانات، أما إذا لم تتحقق كلها أو بعضها يتطلب المراجعة وإعادة الخطوات مرة أخرى حتى الوصول إلى النموذج المناسب.

بعض طرق الاختبارات:

1) اختبار بوكس-بيرس (Box-Pierce Test):

يختبر فرض عدم القائل: أن قيم الأخطاء (البوافي) المقدرة للنموذج مستقلة (عشوانية)، مقابل الفرض البديل القائل: أن قيم الأخطاء (البوافي) المقدرة لنموذج غير مستقلة (غير عشوائية).

أي أن:

$$H_0: \rho_s(a_t) = 0$$

$$H_1: \rho_s(a_t) \neq 0$$

ويتم حساب الإحصاء  $Q$  كالتالي:

$$Q = n^* \sum_{s=1}^m r_s^2 (\hat{a}_t) ; \quad m = n/2$$

ثم يتم مقارنة  $Q$  مع  $\chi^2_{(m-p-d-q)\alpha}$  فإذا كانت قيمة  $Q \leq \chi^2_{(m-p-d-q)\alpha}$  قبل الفرض الصفرى (فرض العدم) وأن البواقي عشوائية مستقلة، مما يعني أن النموذج مناسب.

## 2) طريقة اختبار عشوائية البواقي Runs Test

يستخدم هذا الاختبار لتحديد ما إذا كانت البواقي عشوائية، وهذا اختبار لا معلمى ويعطى ترتيب البواقي أدنى المتوسط أو أعلى المتوسط، فإذا كانت عدد الأرقام أدنى المتوسط أكثر من أعداد الأرقام أعلى المتوسط، في هذه الحالة فإن الاختبار معنوي؛ مما يدل على أن البواقي عشوائية.

وهناك طرق ووسائل أخرى تستخدم في اختبار عشوائية البواقي، واختبار التوزيع الطبيعي للبواقي.

## رابعاً: التنبؤ Forecasting

بعد إجراء الخطوات الثلاث السابقة نصل إلى الخطوة الأخيرة والمهمة والتي تعتبر ثمار الخطوات السابقة، وهي التنبؤ. فإن النموذج أصبح النموذج المناسب المعتمد اجتاز كل الاختبارات ويمكن استخدامه في التنبؤ بالقيم المستقبلية.

كما نعلم أن  $Z_n$  هي المشاهدة الحالية للسلسلة في الزمن الحالي ( $n$ ) وأننا نريد أن نتنبأ بقيمة المشاهدة  $Z_{n+h}$  التي ستحدث في الزمن  $(n+h)$  تسمى  $(h)$  بأفق التنبؤ Forecast Horizon وتشير  $Z_{n(h)}$  إلى القيمة التنبؤية التي نحصل عليها في الفترة الزمنية  $(n)$  للمشاهدة  $Z_{n+h}$  التي ستحدث بعد  $(h)$  من الفترات الزمنية، ولذا فإن  $Z_{n+h}$  عبارة عن متغير عشوائي يمكن معرفة خصائص التوزيع

الاحتمالي له والذي يعتمد على المشاهدة الحالية والمشاهدات السابقة، بالإضافة إلى اعتماده على نموذج ARIMA المحدد <sup>(1)</sup>.

ولاتخاذ القرارات الإحصائية بناءً على التنبؤ بالقيم المستقبلية للظاهرة تحت الدراسة من الأفضل الاعتماد على تنبؤ الفترة (Interval Forecasting) بدلاً من تنبؤ النقطة (Point Forecast)، لأن تنبؤ الفترة يمنح فرص أكبر من تنبؤ النقطة وباحتمال كبير، وأن النقطة المتباينة بها تقع ضمن الفترة بين الحدين الأدنى والأقصى، أي:

$$P(a \leq Z_{n+h} \leq b) = 1 - \alpha$$

$$\text{if } \alpha = 0.05$$

حيث  $(a, b)$  قيم الحد الأدنى والأقصى على التوالي.

وبهذا نستطيع أن نجد درجة تأكيناً من أن القيمة المستقبلية المراد التنبؤ بها تقع ضمن القيم  $(a, b)$  بدرجة تأكيد أو احتمال  $(1 - \alpha) \%$  أو  $(1 - \alpha)$ .

فمثلاً إذا كانت  $\alpha = 0.05$  فإننا متأكدون وباحتمال 95% أن القيمة المستقبلية تقع بين  $(a, b)$  <sup>(2)</sup>.

---

<sup>(1)</sup> والتر فاندلي، السلسل الزمنية من الوجهة التطبيقية ونماذج بوكس جنكتز، ترجمة عبد المرضي حامد، ص207.  
<sup>(2)</sup> عدنان ماجد بري، طرق التنبؤ الإحصائي، الجزء الأول، جامعة الملك سعود، 2002م، ص61.

## الفصل الرابع

### الجانب التطبيقي

#### ٤-١ تمهيد

لقد تناول الفصل الثالث بشكل نظري منهجية بوكس - جنكنز في كيفية تكوين وبناء نماذج ARIMA وكذلك الاختبارات التي تتم على النموذج للتأكد من صلاحية النموذج للتأكد من صلاحية النموذج المختار وموافقته للبيانات تحت الدراسة .

في هذا الفصل سنطبق عمليا كل ما ورد سابقاً لإختيار النماذج المناسبة لسلسل حوادث المرور(البسيط ، الجسيم، الموت)، والخطوات هي:

١/ التعرف على الموصفات الأولية للنموذج .

٢/ تقدير معالم النموذج .

٣/ فحص مدى ملائمة النموذج المناسب .

٤/ التنبؤ بالقيم المستقبلية .

#### ٤-٢ السلسلة الأولى (حوادث البسيطة)

تمثل الحوادث البسيطة مأخوذة من سجلات الادارة العامة للمرور ولاية الخرطوم حيث ان السلسلة وفق الدراسة كم هي.

والجدول رقم (٤-١) يوضح البيانات حيث أن السلسلة تمثل حوادث الاصدبي من يناير 2006 الي ديسمبر 2013 وطولها ٩٦ شهراً

## جدول رقم (1-4) حوادث الادى البسيط من العام 2006 الى 2013 م

السنوات	الشهور	2013	2012	2011	2010	2009	2008	2007	2006
		2013	2012	2011	2010	2009	2008	2007	2006
يناير		398	355	488	501	451	450	377	396
فبراير		321	301	411	467	428	383	385	408
مارس		197	419	445	523	497	405	438	463
ابريل		390	355	408	491	444	460	412	448
مايو		374	448	360	501	422	382	445	435
يونيو		375	389	331	507	400	390	439	422
يوليو		378	410	368	527	473	427	466	399
اغسطس		442	380	388	515	496	494	469	396
سبتمبر		337	405	338	628	597	448	441	399
اكتوبر		404	430	376	516	453	532	517	397
نوفمبر		391	382	368	464	478	470	429	401
ديسمبر		398	377	384	516	442	431	412	405

## 4-2-1 التعرف على الموصفات الاولية للنموذج

### 1. وصف البيانات

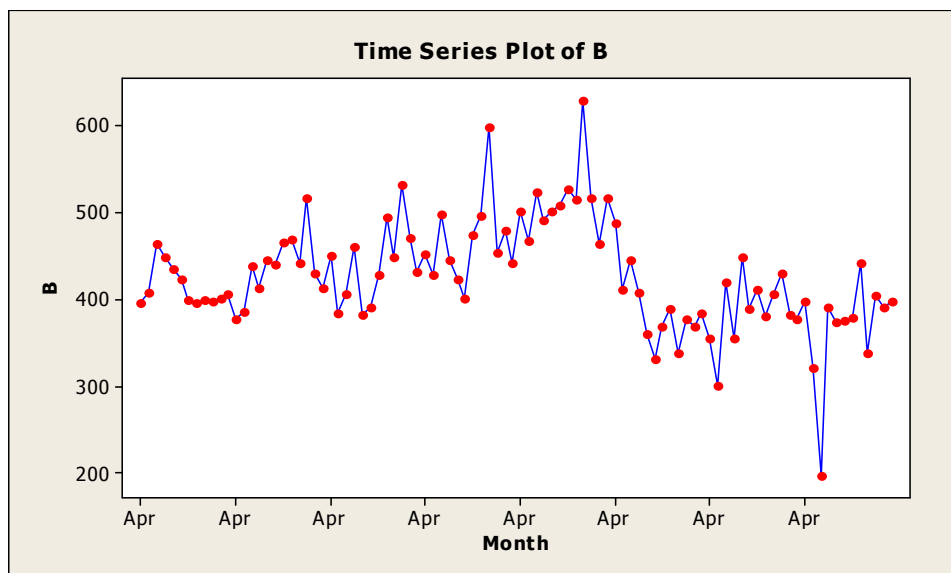
#### الجدول رقم (4-2) يوضح وصف السلسلة

#### جدول رقم (4-2): وصف السلسلة

اقل قيمة	اكبر قيمة	الانحراف المعياري	المتوسط	
197.00	628.00	61.85	426.34	حوادث البسيط

المصدر: من اعداد الباحثة باستخدام برنامج minitab

#### الشكل رقم (4-1): اتجاه السلسلة الزمنية (حوادث البسيط)



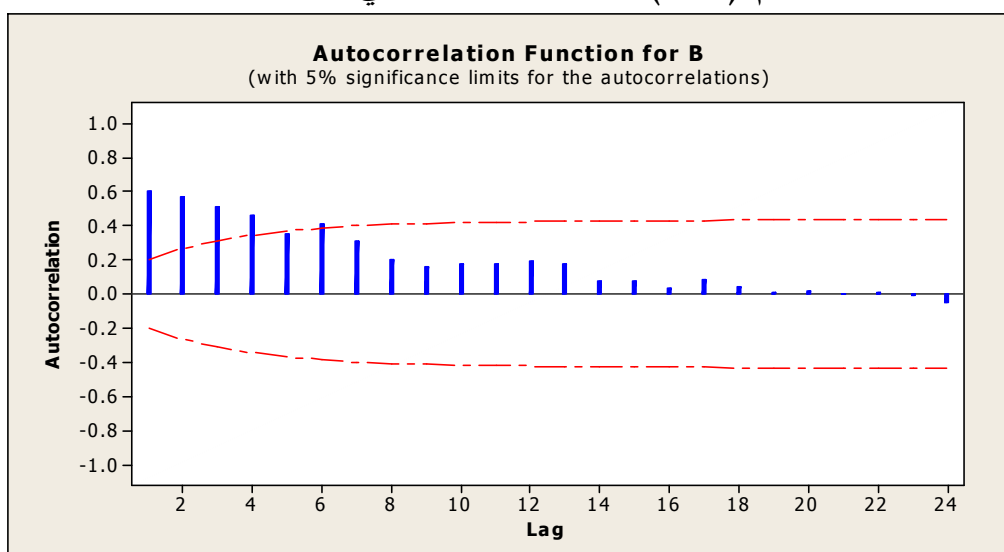
## المصدر: من اعداد الباحثة باستخدام برنامج minitab

من خلال الشكل يتضح أن السلسلة غير مستقرة ، وتشير الى عدم ثبات التباين وهذا يؤدي الى عدم سكون السلسلة ولكن تتأكد نجري اختبارات السكون.

## 2. اختيار سكون السلسلة الزمنية

نحسب ونرسم دالة الارتباط الذاتي وحدود الثقة للارتباطات (Confidence limits) شكل رقم (4-2) رسم دالة الترابط الذاتي وحدود الثقة للارتباطات (Confidence limits) بغرض اختبار السكون للبيانات الاصلية (قبل اخذ الفرق).

الشكل رقم (4-2): دالة الارتباط الذاتي للسلسلة الزمنية



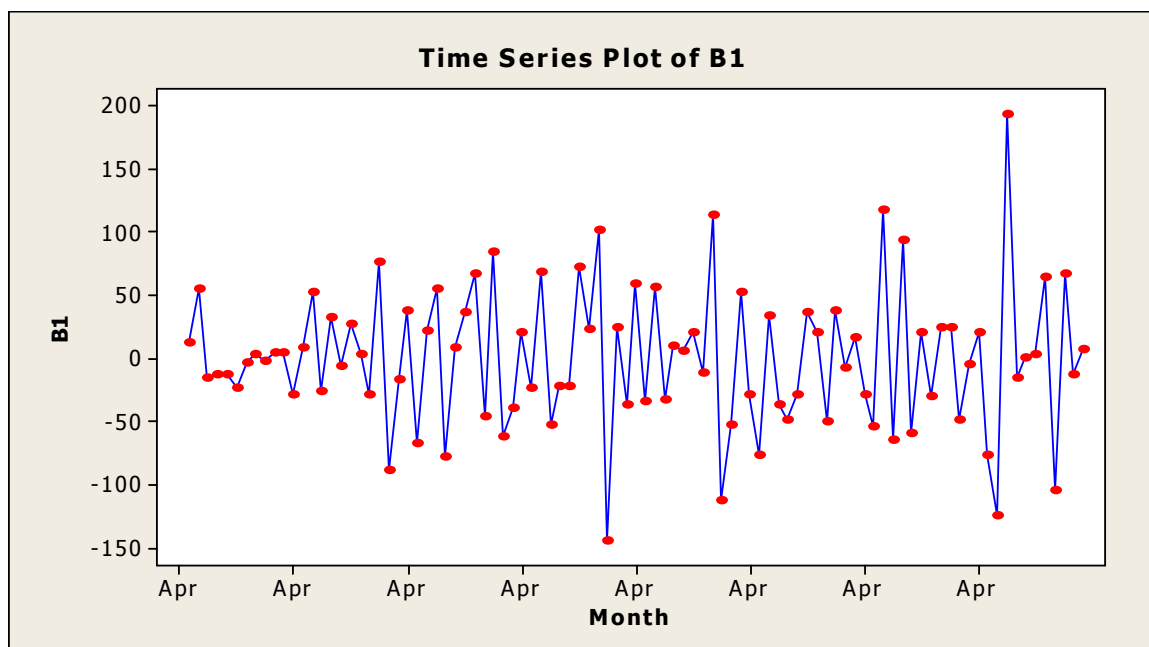
## المصدر: من اعداد الباحثة باستخدام برنامج minitab

جدول رقم (4-3) يوضح قيم الارتباطات (حوادث البسيط)

Lag	ACF	T	LBQ
1	<b>0.604433</b>	<b>5.92</b>	<b>36.18</b>
2	<b>0.566475</b>	<b>4.22</b>	<b>68.30</b>
3	<b>0.507452</b>	<b>3.23</b>	<b>94.35</b>
4	<b>0.463582</b>	<b>2.67</b>	<b>116.32</b>
5	<b>0.349571</b>	<b>1.88</b>	<b>128.96</b>
6	<b>0.41283</b>	<b>2.14</b>	<b>146.77</b>
7	<b>0.306147</b>	<b>1.52</b>	<b>156.68</b>
8	<b>0.198958</b>	<b>0.96</b>	<b>160.91</b>
9	<b>0.161491</b>	<b>0.77</b>	<b>163.73</b>
10	<b>0.172165</b>	<b>0.82</b>	<b>166.98</b>
11	<b>0.176471</b>	<b>0.84</b>	<b>170.42</b>
12	<b>0.195240</b>	<b>0.92</b>	<b>174.69</b>
13	<b>0.178087</b>	<b>0.83</b>	<b>178.29</b>
14	<b>0.077444</b>	<b>0.36</b>	<b>178.97</b>
15	<b>0.076969</b>	<b>0.36</b>	<b>179..66</b>
16	<b>0.032876</b>	<b>0.15</b>	<b>179.79</b>
17	<b>0.087410</b>	<b>0.40</b>	<b>180.70</b>
18	<b>0.045935</b>	<b>0.21</b>	<b>180.95</b>
19	<b>0.007191</b>	<b>0.03</b>	<b>180.96</b>
20	<b>0.015521</b>	<b>0.07</b>	<b>180.99</b>
21	<b>-0.003216</b>	<b>-0.01</b>	<b>180.99</b>
22	<b>0.012057</b>	<b>0.06</b>	<b>181.01</b>
23	<b>-0.011072</b>	<b>-0.05</b>	<b>181.03</b>
24	<b>-0.046353</b>	<b>-0.21</b>	<b>181.31</b>

نلاحظ من خلال الشكل البياني لدالة الارتباط الذاتي عدم اقتراب دالة الارتباط الذاتي من الصفر كلما زاد مقدار الفجوة الزمنية (lag) وهذا يعطي مؤشر لعدم سكون السلسلة ونلجأ لأخذ الفرق الاول ثم نجري إختبارات السكون مرة أخرى .

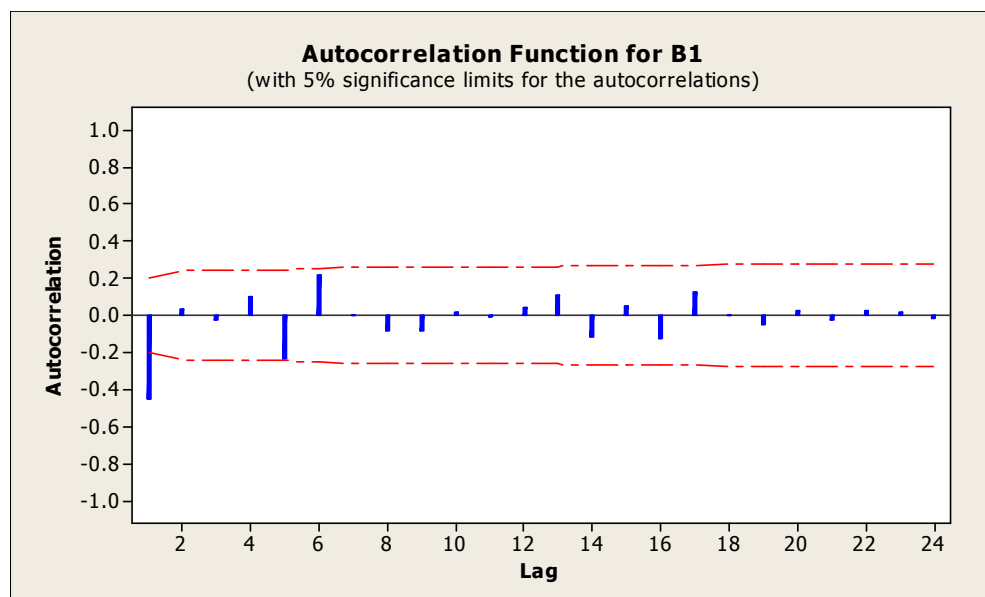
الشكل رقم (4-3): اتجاه السلسلة الزمنية بعدأخذ الفرق الاول (حوادث البسيط)



المصدر: من اعداد الباحثة باستخدام برنامج Minitab

الشكل يشير الى ثبات المتوسط والتباين ، نحسب ونرسم دالة الارتباط الذاتي وحدود الثقة للارتباطات (Confidence limits) مرة أخرى لسلسلة الفروق وكذلك دالة الارتباطات الجزئية.

الشكل رقم (4-4): دالة الارتباط الذاتي للسلسلة الزمنية بعد اخذ الفرق الاول

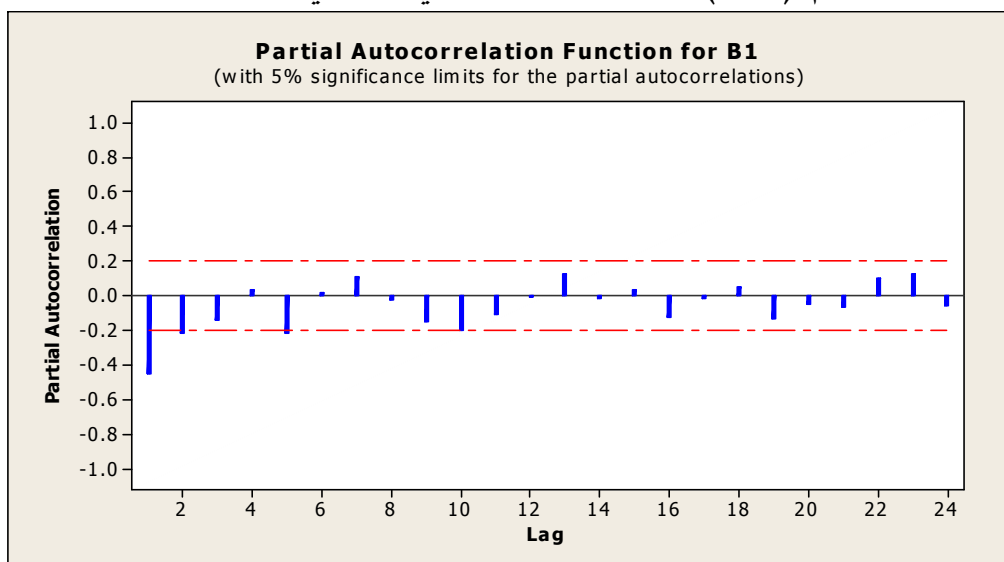


المصدر: من اعداد الباحثة باستخدام برنامج Minitab

جدول رقم (4-4) يوضح قيم الارتباطات بعدأخذ الفرق الاول

Lag	ACF	T	LBQ
1	-0.454166	-4.43	20.22
2	0.033919	0.28	20.33
3	-0.027497	-0.23	20.41
4	0.098225	0.80	21.39
5	-0.233155	-1.90	26.95
6	0.213384	1.67	31.67
7	0.000219	0.00	31.67
8	-0.086755	-0.66	32.47
9	-0.080555	-0.61	33.16
10	0.020824	0.16	33.21
11	-0.010328	-0.08	33.22
12	0.040623	0.31	33.40
13	0.107515	0.81	34.70
14	-0.116990	-0.88	36.26
15	0.050228	0.37	36.55
16	-0.124389	-0.92	38.35
17	0.124427	0.92	40.18
18	-0.002682	-0.02	40.18
19	-0.053690	-0.39	40.53
20	0.022228	0.16	40.59
21	-0.028824	-0.21	40.70
22	0.027798	0.20	40.80
23	0.019007	0.14	40.84
24	-0.019271	-0.14	40.89

الشكل رقم (4-5): دالة الارتباط الذاتي الجزئي للسلسلة الزمنية



المصدر: من اعداد الباحثة باستخدام برنامج Minitab

### جدول رقم (4-5) قيم الارتباطات الجزئية بعدأخذ الفرق الاول

Lag	ACF	T
1	-0.454166	-4.43
2	-0.217136	-2.12
3	-0.141956	-1.38
4	0.037423	0.36
5	-0.220404	-2.15
6	0.012714	0.12
7	0.109917	1.07
8	-0.023627	-0.23
9	-0.146955	-1.43
10	-0.204524	-1.99
11	-0.107677	-1.05
12	-0.011459	-0.11
13	0.128571	1.25
14	-0.017356	-0.17
15	0.033786	0.33
16	-0.125713	-1.23
17	-0.013356	-0.13
18	0.053910	0.53
19	-0.137296	-1.34
20	-0.047818	-0.47
21	-0.070072	-0.68
22	0.097769	0.59
23	0.124548	1.21
24	-0.05974	-0.58

من خلال الشكل اعلاه نلاحظ وقوع جميع قيم الارتباطات الذاتية والارتباطات الذاتية الجزئية داخل حدود الثقة عدا قيمة الارتباط الاول وهذا يشير الى سكون السلسلة.

### 3. اختيار النموذج

من خلال مخطط الداللين (الارتباط الذاتي والارتباط الذاتي الجزئي) نلاحظ ان النموذج المناسب لبيانات سلسلة حوادث البسيط هو  $(1)MA$  والذي يكتب على الصورة الآتية:

$$Z_t = -\theta_1 a_{t-1} + a_t$$

## 2-2-4 تقدیر معالم النموذج

تم التوصل الى ان النموذج الملائم لبيانات (سلسلة) حوادث البسيط هو  $MA(1)$  والذی يكتب على الصورة الآتیة :-

$$Z_t = -\theta_1 a_{t-1} + a_t$$

جدول (4-6) به قيم المعلمات المقدرة التي تم الحصول عليها باستخدام برنامج Minitab للنموذج  $MA(1)$  لبيانات (سلسلة) حوادث البسيط.

جدول رقم (4-6) يوضح قيم المعلمات المقدرة

Type	Coef	SE Coef	T	P
MA 1	0.5979	0.0831	7.19	0.000
Constant	-0.261	1.970	-0.13	0.895
Differencing: 1 regular difference				
Number of observations: Original series 96, after differencing 95				
Residuals: SS = 209905 (backforecasts excluded)				
MS = 2257 DF = 93				
Modified Box-Pierce (Ljung-Box) Chi-Square statistic				
Lag	12	24	36	48
Chi-Square	13.3	18.9	27.8	39.2
DF	10	22	34	46
P-Value	0.210	0.653	0.763	0.750

والنموذج المقترن الذي وفقه تتولد (سلسلة) حوادث البسيط هو

$$Z_t = -0.5979 a_{t-1} + a_t \quad a_t \sim IIN(0, 209905)$$

### 4-3-3 فحص مدى ملائمة النموذج للبيانات :-

فحص مدى ملائمة النموذج للبيانات يعني تشخيص واختبار النموذج المقترن الذي تم تحديده وتقدير معلماته وهي الخطوة الثالثة والمهمة جدا حيث يتم اختبار تحقق فروض الباقي (حد الخطأ) وهي :

$$a_t \sim IIN(0, \sigma_a^2)$$

#### 1. اختبار عشوائية الباقي :

اختبار عشوائية الباقي بطريقة Runs test والذي يختبر الفرض الصفرى (فرض العدم) ان:

$H_0$ : توزيع الأخطاء (الباقي) عشوائي

مقابل الفرض البديل أن:

$H_1$ : توزيع الأخطاء (الباقي) غير عشوائي

كما يوضح جدول رقم (4-7) معنوية الاختبار لذا نقبل فرض العدم وان الباقي عشوائي.

#### جدول رقم (4-7) يوضح نتيجة اختبار Runs test عشوائية الأخطاء

Runs test
The observed number of runs=44
The expected number of runs =48.4526
46 Observation above K49 below
The test is significant at 0.358
Can not reject at alpha =0.05

## 2. اختبار استقلالية البوافي:

يفترض البحث ويختبر فرض عدم القائل:

أن قيم الأخطاء المقدرة مستقلة (عشوائية) ، مقابل الفرض البديل القائل :

أن قيم الأخطاء المقدرة للنموذج غير مستقلة (غير عشوائية) أي أن :

$$H_0 = \rho_s(a_t) = 0$$

$$H_1 = \rho_s(a_t) \neq 0$$

ونختبر الفروض أعلاه باستخدام Box-Pierce وهو:

$$Q = n \sum_{s=1}^m r_s^2 (a_t) ; \quad m = n/2$$

ويتم مقارنة  $Q$  مع  $\chi^2_{(m-p-d-q)\alpha}$  فإذا كانت قيمة  $Q \leq \chi^2_{(m-p-d-q)\alpha}$  نقبل فرض عدم مما يعني عشوائية الأخطاء، أما خلاف ذلك نرفض فرض عدم ونقبل البديل .

$$\text{إذن } Q = n \sum_{s=1}^m r_s^2 (a_t) = 14.43$$

$$\chi^2_{(m-p-d-q)\alpha} = \chi^2_{(48-0-0-1)0.05} = 34.8$$

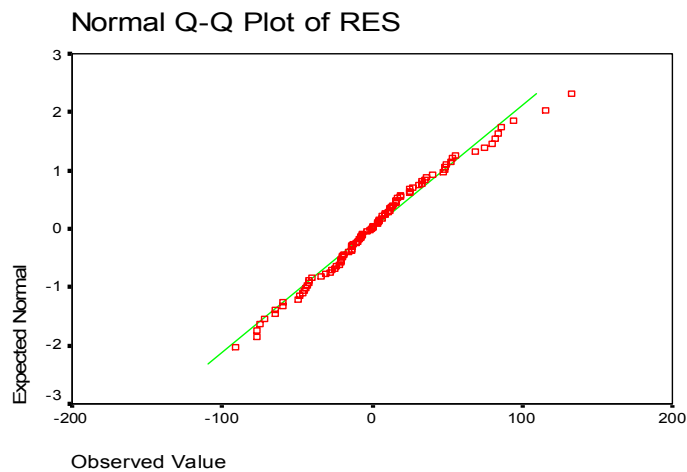
وبما أن قيمة  $\chi^2_{(m-p-d-q)\alpha} \leq Q$  نقبل فرض عدم وان الأخطاء مستقلة .

## 3. اختبار توزيع البوافي:

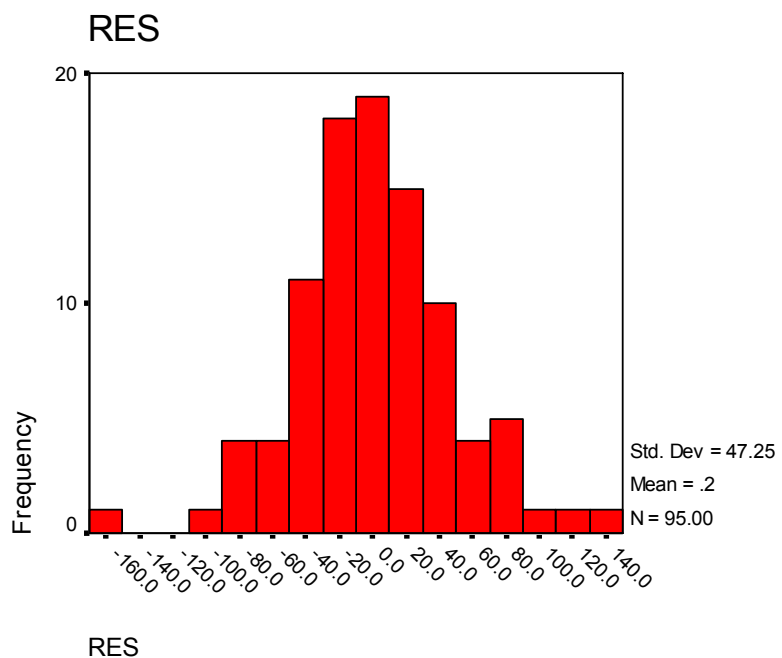
الغرض من هذا الاختبار هو التأكد من توزيع البوافي هل لها توزيع طبيعي يتطابق مع الفرض بأن  $a_t \sim IIN(0, \sigma_a^2)$  ويمكن معرفة ذلك من رسم البوافي عن طريق استخدام رسم الإحتمال الطبيعي (Normal Probability Plot) والمدرج التكراري Histogram الذين يبينهما الشكلين رقم (6-4) والشكل رقم (7-4)، ومن خلال الرسم يتضح أن البوافي طبيعية.

الشكل رقم (4-6) رسم الباقي عن طريق استخدام الاحتمال الطبيعي

### Normal Probability Plot



شكل رقم (7-4) رسم الباقي عن طريق إستخدام المدرج التكراري  
Histogram



#### 4-2-4 التنبؤ : Forecasting

بعد المرور بخطوات التعرف على النموذج المناسب لبيانات سلسلة حوادث البسيط وتقدير معالمه وفحص النموذج نستخدم النموذج للتنبأ بالقيم المستقبلية (حوادث البسيط للشهور القادمة )

جدول رقم (4-8): التنبؤ بحوادث البسيط للعام 2014

الشهر	التنبؤ بالحوادث
يناير	391
فبراير	391
مارس	391
ابريل	390
مايو	390
يونيو	390
يوليو	390
اغسطس	389
سبتمبر	389
اكتوبر	389
نوفمبر	388
ديسمبر	388

نلاحظ من الجدول أن قيم السلسلة تمثل حوادث البسيط التي تتناقص تدريجياً ، وهذا يدل على أن الحوادث تقل تدريجياً وذلك يعني نجاح خطة المرور إلى حد كبير في الحد من حوادث المرور وإختلافات المرور وبالتالي تكون حفقت الإدارية العامة للمرور أهدافها .

#### 4-3 السلسلة الثانية (الحوادث الجسيمة)

تمثل الحوادث الجسيمة مأخوذه من سجلات الادارة العامة للمرور ولاية الخرطوم حيث ان السلسلة وفق الدراسة كم هي.

والجدول رقم (9-4) يوضح البيانات حيث أن السلسلة تمثل حوادث الادى الجسيم من يناير 2006 الى ديسمبر 2013 وطولها 96 شهراً

**جدول رقم (9-4) حوادث الادى الجسيم من العام 2006 الى 2013 م**

2013	2012	2011	2010	2009	2008	2007	2006	السنوات
								الشهور
253	297	290	327	302	267	224	186	يناير
221	260	277	265	282	286	220	232	فبراير
259	267	320	340	307	339	293	240	مارس
266	285	283	305	264	244	254	290	ابريل
246	296	294	324	267	221	271	257	مايو
253	222	335	279	288	224	263	251	يونيو
259	258	324	299	280	239	256	266	يوليو
255	167	343	334	285	288	269	276	اغسطس
237	255	308	350	325	277	271	273	سبتمبر
254	246	292	307	335	319	297	286	اكتوبر
233	241	313	285	337	286	280	244	نوفمبر
284	264	284	280	312	276	289	251	ديسمبر

### 1-3-4 التعرف على الموصفات الأولية للنموذج

#### 1. وصف البيانات

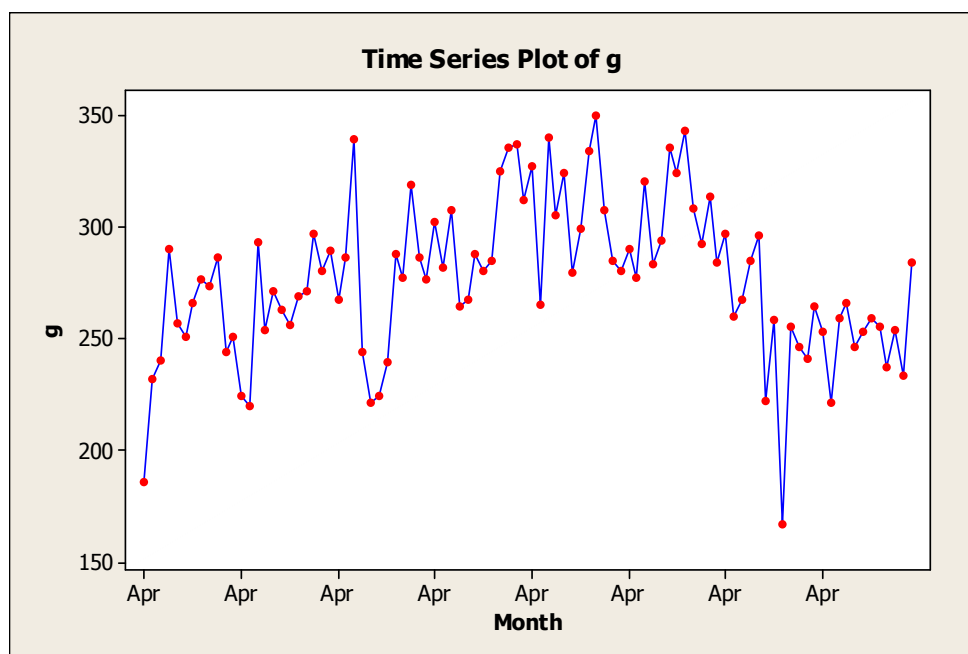
الجدول رقم (10-4) يوضح وصف السلسلة

جدول رقم (10-4): وصف السلسلة

اقل قيمة	اكبر قيمة	الانحراف المعياري	المتوسط	
167.00	350.00	34.74	276.30	حوادث الجسيم

المصدر: من اعداد الباحثة باستخدام برنامج minitab

الشكل رقم (4-8): اتجاه السلسلة الزمنية



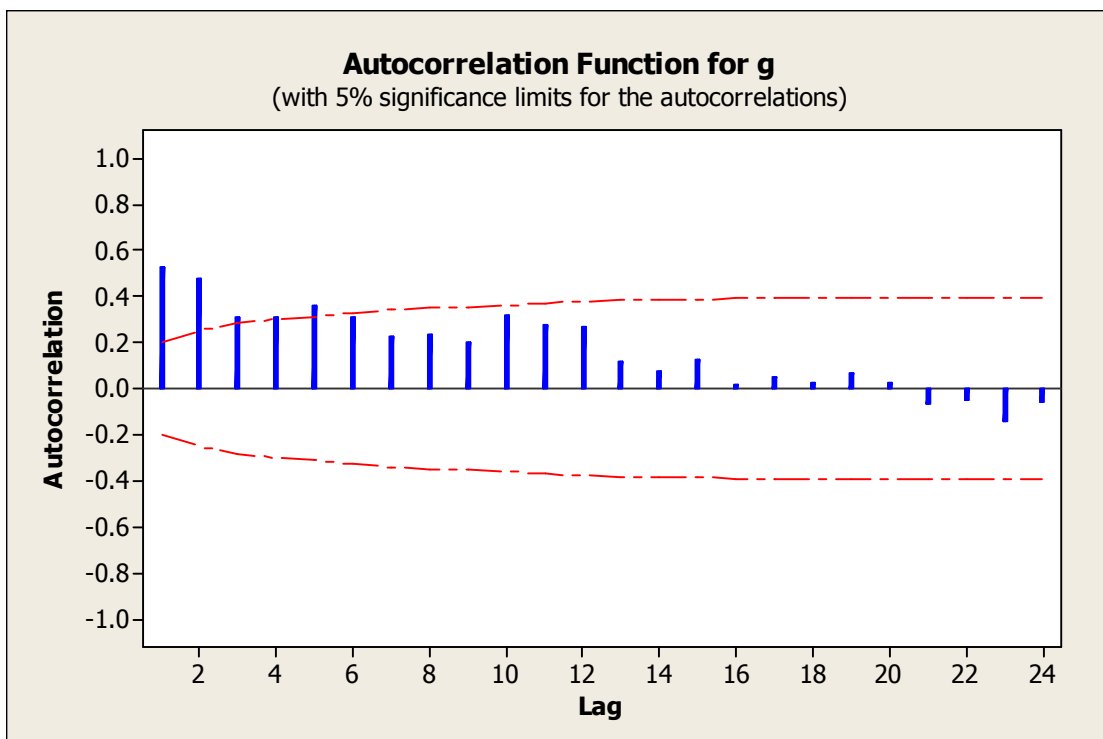
المصدر: من اعداد الباحثة باستخدام برنامج minitab

من خلال الشكل يتضح أن السلسلة غير مستقرة ، وتشير الى عدم ثبات التباين وهذا يؤدي الى عدم سكون السلسلة ولكي نتأكد نجري اختبارات السكون.

## 2. اختبار سكون السلسلة الزمنية

نحسب ونرسم دالة الارتباط الذاتي وحدود الثقة للارتباطات (Confidence limits). شكل رقم (9-4) رسم دالة الترابط الذاتي وحدود الثقة للارتباطات (Confidence limits) بغرض اختبار السكون للبيانات الأصلية (قبل اخذ الفرق).

الشكل رقم (9-4): دالة الارتباط الذاتي للسلسلة الزمنية

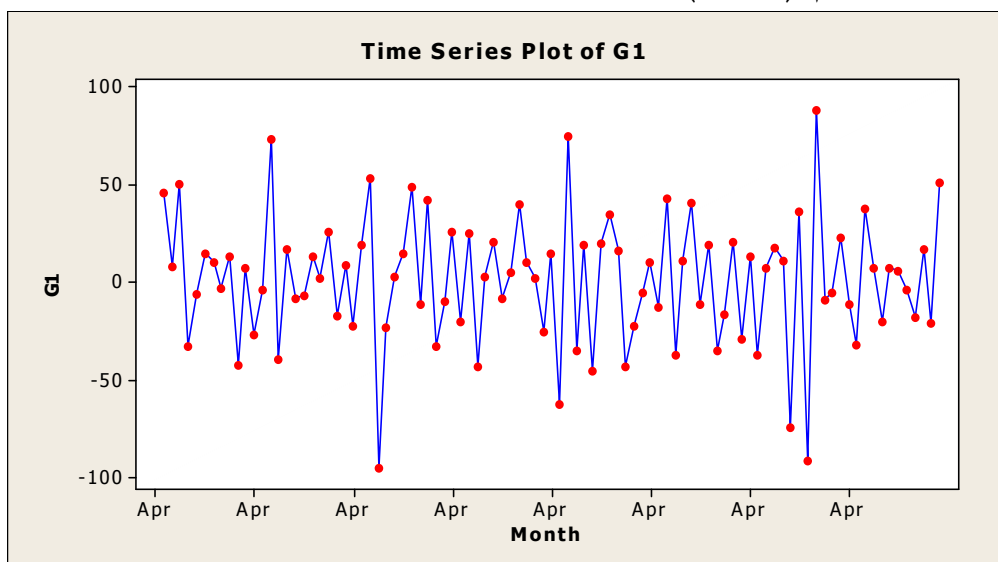


المصدر: من اعداد الباحثة باستخدام برنامج minitab

جدول رقم (4-11) يوضح قيم الارتباطات (الحوادث الجسيمة)

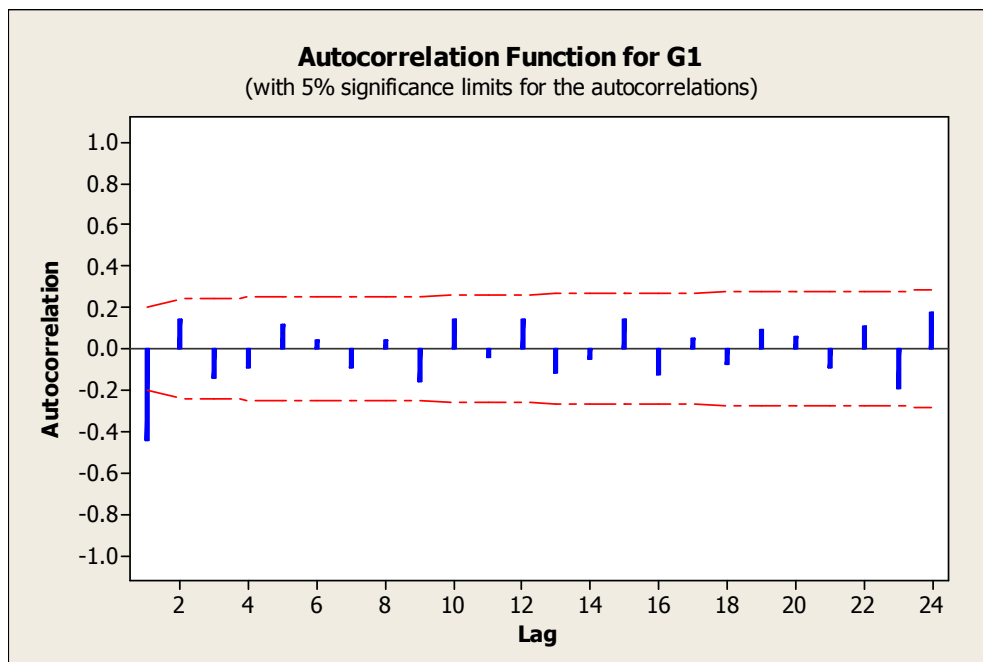
Lag	ACF	T	LBQ
1	0.523782	5.13	27.17
2	0.475504	3.74	49.80
3	0.306440	2.12	59.30
4	0.306382	2.03	68.90
5	0.361248	2.30	82.39
6	0.308824	1.86	92.36
7	0.228432	1.33	97.87
8	0.236331	1.35	103.85
9	0.201529	1.13	108.24
10	0.313852	1.74	119.01
11	0.274180	1.47	127.33
12	0.271158	1.43	135.57
13	0.120548	0.62	137.22
14	0.071308	0.37	137.80
15	0.122714	0.36	139.55
16	0.020774	0.11	139.60
17	0.050715	0.26	139.91
18	0.024637	0.13	139.98
19	0.063150	0.32	140.47
20	0.025748	0.13	140.55
21	-0.064217	-0.33	141.07
22	-0.048185	-0.24	141.36
23	-0.139483	-0.71	143.87
24	-0.056046	-0.28	144.28

الشكل رقم (4-10): اتجاه السلسلة الزمنية بعدأخذ الفرق الاول



المصدر: من اعداد الباحثة باستخدام برنامج minitab  
 الشكل يشير الى ثبات المتوسط والتباين ، نحسب ونرسم دالة الارتباط الذاتي وحدود الثقة للارتباطات (Confidence limits) مرة أخرى لسلسلة الفروق وكذلك دالة الارتباطات الجزئية .

الشكل رقم (11-4): دالة الارتباط الذاتي لسلسلة الزمنية بعد اخذ الفرق الاول

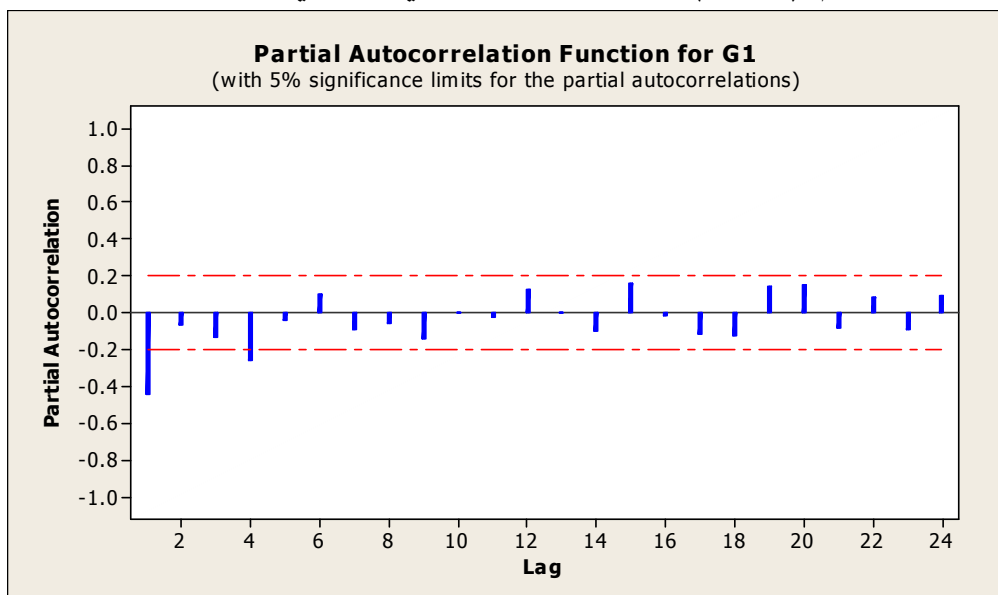


المصدر: من اعداد الباحثة باستخدام برنامج minitab

جدول رقم (4-12) يوضح قيم الارتباطات (الحوادث الجسيمة) بعدأخذ الفرق

Lag	ACF	T	LBQ
1	<b>-0.441299</b>	<b>-4.30</b>	<b>19.09</b>
2	<b>0.142661</b>	<b>1.18</b>	<b>21.11</b>
3	<b>-0.145516</b>	<b>-1.19</b>	<b>23.23</b>
4	<b>-0.093345</b>	<b>-0.75</b>	<b>24.11</b>
5	<b>0.116121</b>	<b>0.93</b>	<b>25.49</b>
6	<b>0.045735</b>	<b>0.36</b>	<b>25.71</b>
7	<b>-0.090623</b>	<b>-0.72</b>	<b>26.57</b>
8	<b>0.044305</b>	<b>0.35</b>	<b>26.78</b>
9	<b>-0.154853</b>	<b>-1.22</b>	<b>29.35</b>
10	<b>0.138178</b>	<b>1.07</b>	<b>31.42</b>
11	<b>-0.037963</b>	<b>-0.29</b>	<b>31.57</b>
12	<b>0.142190</b>	<b>1.09</b>	<b>33.82</b>
13	<b>-0.117380</b>	<b>-0.89</b>	<b>35.37</b>
14	<b>-0.049099</b>	<b>-0.37</b>	<b>35.64</b>
15	<b>0.138514</b>	<b>1.03</b>	<b>37.85</b>
16	<b>-0.127055</b>	<b>-0.94</b>	<b>39.73</b>
17	<b>0.049432</b>	<b>0.36</b>	<b>40.02</b>
18	<b>-0.076765</b>	<b>-0.56</b>	<b>40.73</b>
19	<b>0.091787</b>	<b>0.67</b>	<b>41.75</b>
20	<b>0.062010</b>	<b>0.45</b>	<b>42.22</b>
21	<b>-0.095736</b>	<b>-0.69</b>	<b>43.36</b>
22	<b>0.107269</b>	<b>0.77</b>	<b>44.82</b>
23	<b>-0.193671</b>	<b>-1.39</b>	<b>49.62</b>
24	<b>0.174536</b>	<b>1.22</b>	<b>53.57</b>

الشكل رقم (4-12): دالة الارتباط الذاتي الجزئي للسلسلة الزمنية



المصدر: من اعداد الباحثة باستخدام برنامج minitab  
جدول رقم (4-13) يوضح قيم الارتباطات الجزئية بعدأخذ الفرق

Lag	ACF	T
1	-0.441299	-4.30
2	-0.064680	-0.63
3	-0.133474	-1.30
4	-0.258632	-2.52
5	-0.044270	-0.43
6	0.099174	0.97
7	-0.093855	-0.91
8	-0.057101	-0.56
9	-0.140643	-1.37
10	-0.002594	-0.03
11	-0.024240	-0.24
12	0.123851	1.21
13	-0.002841	-0.03
14	-0.102748	-1.00
15	0.162474	1.58
16	-0.012642	-0.12
17	-0.113442	-1.11
18	-0.123337	-1.20
19	0.143460	1.40
20	0.149078	1.45
21	-0.079584	-0.78
22	0.086566	0.84
23	-0.089255	-0.87
24	0.088817	0.87

من خلال الشكل اعلاه نلاحظ وقوع جميع قيم الارتباطات الذاتية والارتباطات الذاتية الجزئية داخل حدود الثقة عدا قيمة الارتباط الاول وهذا يشير الى سكون السلسلة .

### 3. اختيار النموذج

من خلال مخطط الدالتين (الارتباط الذاتي والارتباط الذاتي الجزئي) نلاحظ ان النموذج المناسب لبيانات سلسلة حوادث الجسيم هو  $MA(1)$  والذي يكتب على الصورة الآتية:

$$Z_t = -\theta_1 a_{t-1} + a_t$$

### 2-3-4 تدبير معالم النموذج

تم التوصل إلى أن النموذج الملائم لبيانات (سلسلة) حوادث الجسيم هو  $MA(1)$  والذي يكتب على الصورة الآتية :-

$$Z_t = -\theta_1 a_{t-1} + a_t$$

جدول (14-4) به قيم المعلمات المقدرة التي تم الحصول عليها باستخدام برنامج Minitab للنموذج  $MA(1)$  لبيانات (سلسلة) حوادث الجسيم.

### جدول رقم (14-4) يوضح قيم المعلمات المقدرة

Type	Coef	SE Coef	T	P
MA 1	0.6662	0.0767	8.69	0.000
Constant	0.3145	0.9761	0.32	0.748
Differencing: 1 regular difference				
Number of observations: Original series 96, after differencing 95				
Residuals: SS = 74250.0 (backforecasts excluded)				
MS = 798.4 DF = 93				
Modified Box-Pierce (Ljung-Box) Chi-Square statistic				
Lag	12	24	36	48
	12.5	22.6	40.8	48.6
Chi-Square				
DF	10	22	34	46
P-Value	0.250	0.427	0.196	0.370

والنموذج المقترن الذي وفقه تولد (سلسلة) حوادث الجسيم هو

$$Z_t = -0.6662a_{t-1} + a_t$$

$$a_t \sim IIN(0, 74250)$$

### 3-3-4 فحص مدى ملائمة النموذج للبيانات

فحص مدى ملائمة النموذج للبيانات يعني تشخيص واختبار النموذج المقترن الذي تم تحديده وتقدير معلماته وهي الخطوة الثالثة والمهمة جدا حيث يتم اختبار تحقق فروض البوافي (حد الخطأ) وهي:

$$a_t \sim IIN (0, \sigma_a^2)$$

1. اختبار عشوائية البوافي :-

اختبار عشوائية البوافي بطريقة Runs test والذي يختبر الفرض الصفرى (فرض العدم) ان:

$H_0$  : توزيع الأخطاء (البوافي) عشوائي

مقابل الفرض البديل ان:

$H_1$  : توزيع الأخطاء (البوافي) غير عشوائي

كما يوضح جدول رقم (4-15) معنوية الاختبار لذا نقبل فرض العدم وان البوافي عشوائي

جدول رقم (4-15) يوضح نتيجة اختبار Runs test عشوائية الأخطاء

Runs test
The observed number of runs=49
The expected number of runs =48.2421
15 Observations above K 44 below
The test is significance at 0.875
Can not reject at alpha =0.05

## 2. اختبار إستقلالية البواقي :

يفترض البحث ويختبر فرض العدم القائل :

أن قيم الأخطاء المقدرة مستقلة (عشوائية) ، مقابل الفرض البديل القائل :

أن قيم الأخطاء المقدرة للنموذج غير مستقلة (غير عشوائية) أي أن :

$$H_0 = \rho_s(a_t) = 0$$

$$H_1 = \rho_s(a_t) \neq 0$$

ونختبر الفروض اعلاه بـ استخدام Box-Pierce وهو

ويتم مقارنة  $Q$  مع  $\chi^2$  فإذا كانت قيمة  $\chi^2 \leq \chi^2_{(m-d-p-q)\alpha}$  ،  $m = n/2$  نقبل  $Q$  فرض العدم مما يعني عشوائية الأخطاء ، أما خلاف ذلك نرفض فرض العدم ونقبل البديل.

إذن

$$Q = n \sum_{s=1}^m r_s^2 (a_t) = 24.22$$

$$\chi^2_{(m-d-p-q)\alpha} = \chi^2_{(48-0-1-1)0.05} = 34.8$$

وبما أن قيمة  $\chi^2 \leq Q$  نقبل فرض العدم وان الأخطاء مستقلة؟

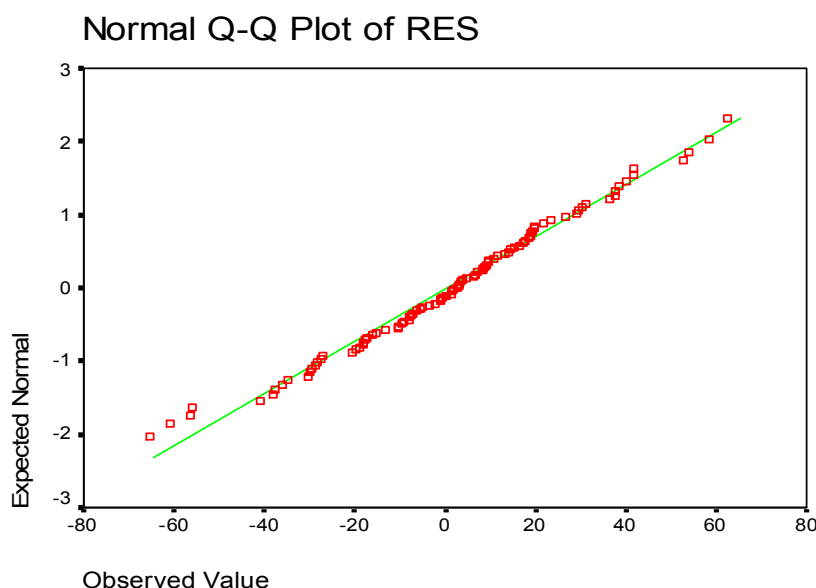
## 3. اختبار توزيع البواقي :

الغرض من هذا الاختبار هو التأكد من توزيع البواقي هل لها توزيع طبيعي يتطابق مع الفرض بأن  $a_t \sim IIN(0, \sigma_a^2)$  ويمكن معرفة ذلك من رسم البواقي عن طريق استخدام رسم الإحتمال الطبيعي (Normal Probability Plot) والمدرج

التكرارى Histogram الذين يبينهما الشكلين رقم (13-4) والشكل رقم (14-4) ، ومن خلال الرسم يتضح أن الباقي طبيعية .

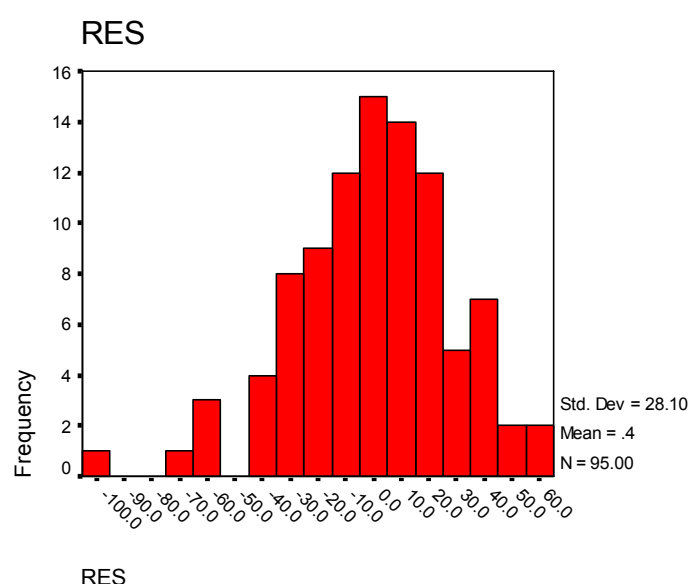
الشكل رقم (13-4) رسم الباقي عن طريق استخدام الإحتمال الطبيعي

### Normal Probability Plot



شكل رقم (14-4) رسم الباقي عن طريق استخدام المدرج التكراري

### Histogram



#### 4-3-4 التنبؤ : Forecasting

بعد المرور بخطوات التعرف على النموذج المناسب لبيانات سلسلة حوادث الجسيم وتقدير معالمه وفحص النموذج نستخدم النموذج للتباً بالقيم المستقبلية (حوادث الجسيم للشهور القادمة)

جدول رقم (16-4): التنبؤ بحوادث الجسيم للعام 2014

الشهر	التنبؤ بالحوادث
يناير	259
فبراير	259
مارس	259
ابريل	259
مايو	260
يونيو	260
يوليو	260
اغسطس	261
سبتمبر	261
اكتوبر	261
نوفمبر	262
ديسمبر	262

نلاحظ من الجدول أن قيم السلسلة تمثل حوادث الجسيم التي تتناقص تدريجياً بصورة متزايدة، وهذا يدل على أن الحوادث تقل تدريجياً وذلك يعني نجاح خطة المرور إلى حد كبير في الحد من حوادث المرور واحتقانات المرور وبالتالي تكون قد حققت الإدارة العامة للمرور أهدافها.

#### 4-4 السلسلة الثالثة (حوادث الموت)

تمثل الحوادث الموت مأخوذة من سجلات الادارة العامة للمرور ولاية الخرطوم حيث ان السلسلة وفق الدراسة كم هي.

والجدول رقم (4-17) يوضح البيانات حيث أن السلسلة تمثل حوادث الموت من يناير 2006 الى ديسمبر 2013 وطولها 96 شهراً

**جدول رقم (4-17) حوادث الموت من العام 2006 الى 2013 م**

السنوات	الشهور	2013	2012	2011	2010	2009	2008	2007	2006			
		يناير	فبراير	مارس	ابريل	مايو	يونيو	يوليو	اغسطس	سبتمبر	اكتوبر	نوفمبر
71	65	76	77	66	67	54	47					
51	60	54	69	62	60	62	49					
63	65	67	87	74	72	68	56					
59	62	54	75	59	57	66	63					
57	70	54	85	70	70	54	59					
50	68	80	65	51	57	63	67					
61	68	74	64	69	72	69	66					
52	87	70	69	65	49	51	64					
51	45	62	89	88	71	65	62					
56	61	64	75	85	89	69	78					
55	59	84	70	76	65	65	65					
51	67	82	66	76	81	72	72					

#### 4-4-1 التعرف على الموصفات الأولية للنموذج

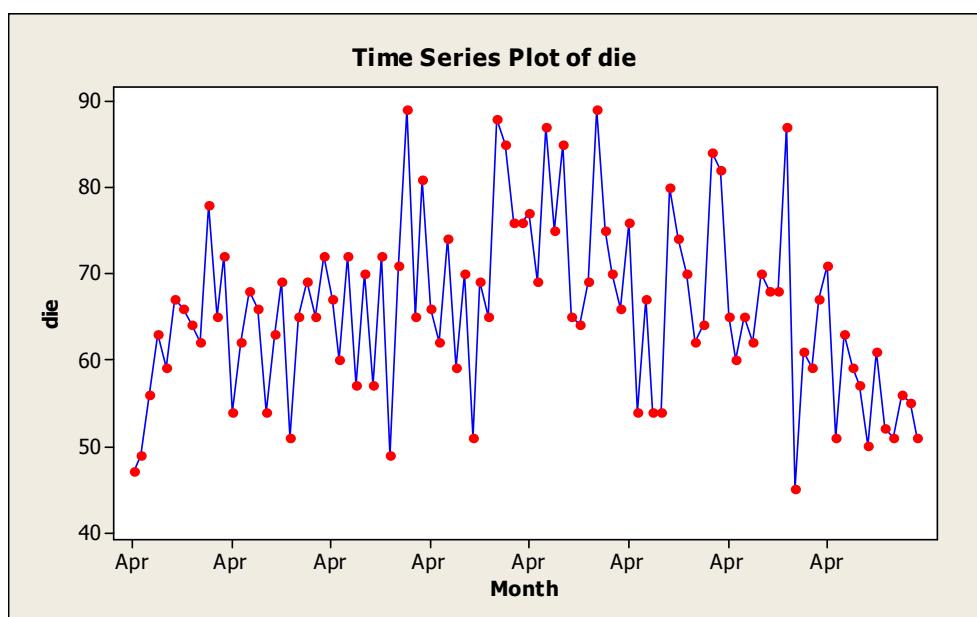
##### 1. وصف البيانات

جدول رقم (4-18): وصف السلسلة

اقل قيمة	اكبر قيمة	الانحراف المعياري	المتوسط	
45.00	89.00	10.27	65.86	حوادث الموت

المصدر: من اعداد الباحثة باستخدام برنامج Minitab

الشكل رقم (4-15): اتجاه السلسلة الزمنية



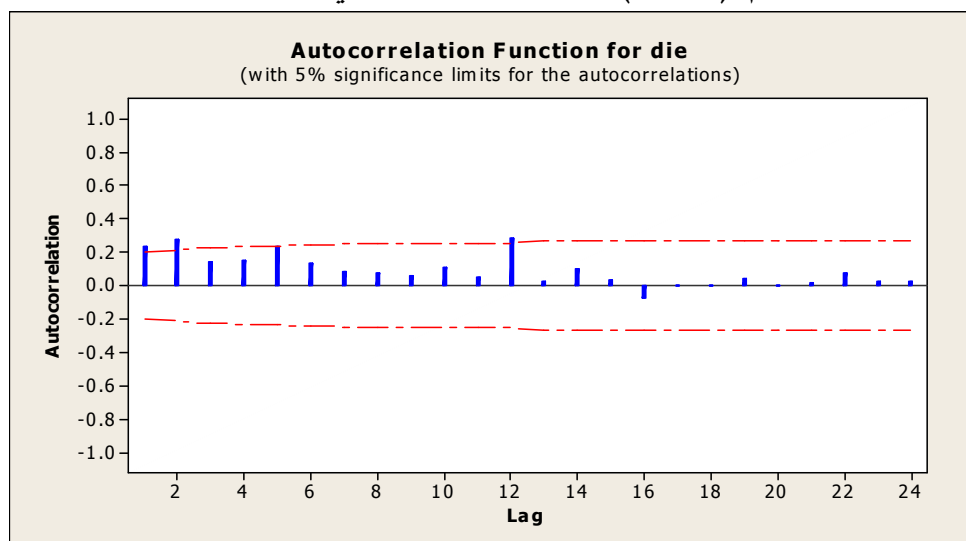
المصدر: من اعداد الباحثة باستخدام برنامج Minitab

من خلال الشكل يتضح أن السلسلة غير مستقرة ، وتشير الى عدم ثبات التباين وهذا يؤدي الى عدم سكون السلسلة ولكي نتأكد نجري اختبارات السكون.

##### 2. اختبار سكون السلسلة الزمنية:

نحسب ونرسم دالة الارتباط الذاتي وحدود الثقة لالرتباطات (Confidence limits) شكل رقم (4-16) رسم دالة الترابط الزاتي وحدود الثقة لالرتباطات (Confidence limits) بغرض اختبار السكون للبيانات الاصلية (قبل اخذ الفرق).

الشكل رقم (16-4): دالة الارتباط الذاتي للسلسلة الزمنية



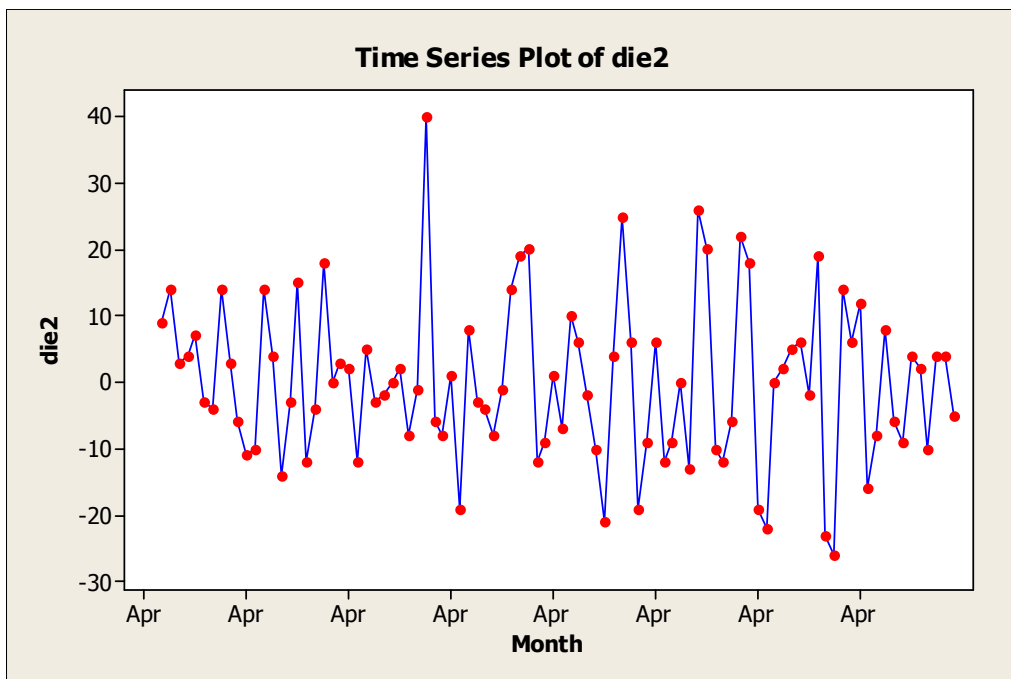
المصدر: من اعداد الباحثة باستخدام برنامج Minitab

جدول رقم (19-4) يوضح قيم الارتباطات (حوادث الموت) بعدأخذ الفرق

Lag	ACF	T	LBQ
1	0.235882	2.31	5.51
2	0.272381	2.53	12.94
3	0.142925	1.25	15.00
4	0.149054	1.28	17.27
5	0.232060	1.96	22.84
6	0.131327	1.07	24.64
7	0.085838	0.69	25.42
8	0.075008	0.60	26.02
9	0.062482	0.50	26.45
10	0.110357	0.88	27.78
11	0.046407	0.37	28.02
12	0.285549	2.25	37.15
13	0.025548	0.19	37.22
14	0.096744	0.72	38.30
15	0.036610	0.27	38.45
16	-0.079161	-0.59	39.19
17	-0.002747	-0.02	39.19
18	-0.000939	-0.01	39.19
19	0.044395	0.33	39.43
20	0.000336	0.00	39.43
21	0.013573	0.10	39.46
22	0.073417	0.54	40.14
23	0.020922	0.15	40.20
24	0.028336	0.21	4030

نلاحظ من خلال الشكل البياني لدالة الارتباط الذاتي عدم اقتراب دالة الارتباط الذاتي من الصفر كلما زاد مقدار الفجوة الزمنية (lag) وهذا يعطى مؤشر لعدم سكون السلسلة ونلجمً لأخذ الفرق الاول ثم نجري اختبارات السكون مرة أخرى.

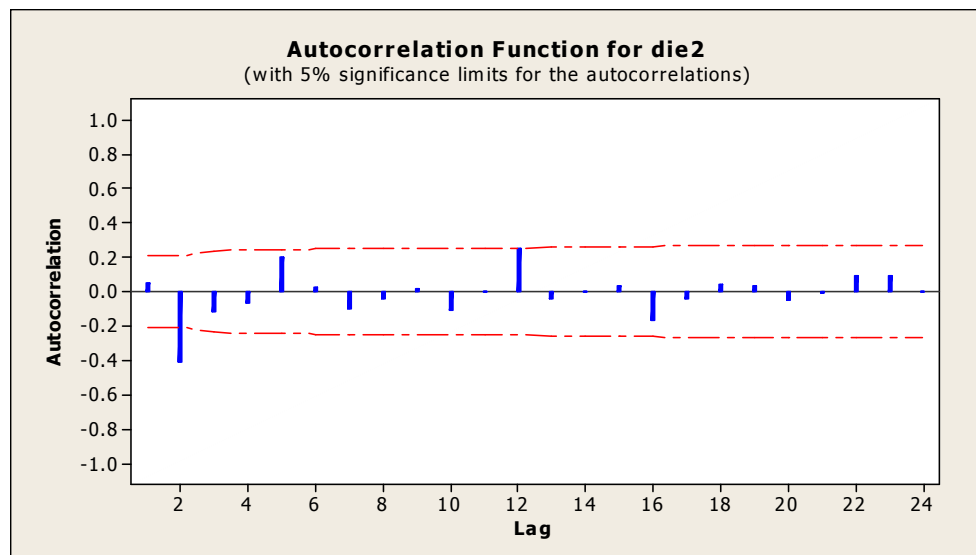
الشكل رقم (4-17): اتجاه السلسلة الزمنية بعدأخذ الفرق الاول



المصدر: من اعداد الباحثة باستخدام برنامج Minitab

الشكل يشير الى ثبات المتوسط والتباين ، نحسب ونرسم دالة الارتباط الذاتي وحدود الثقة لالارتباطات (Confidence limits) مرة أخرى لسلسلة الفروق وكذلك لدالة الارتباطات الجزئية .

الشكل رقم (18-4): دالة الارتباط الذاتي للسلسلة الزمنية بعد اخذ الفرق الثاني

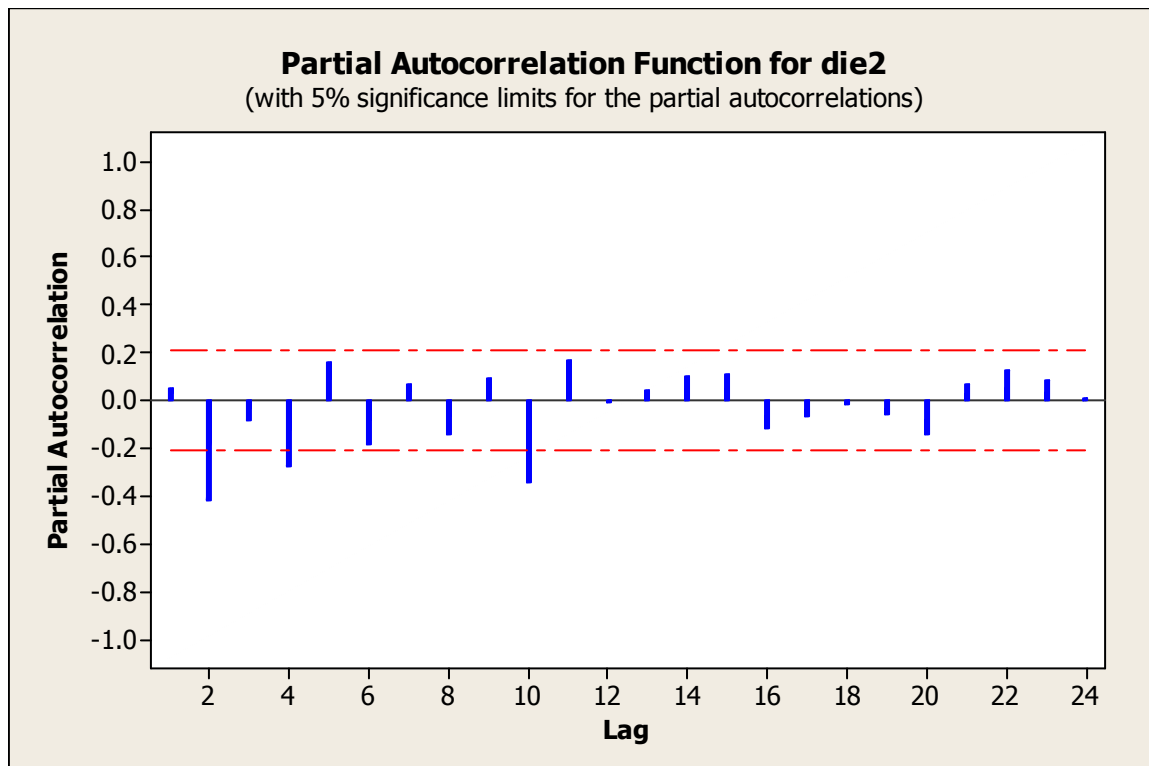


المصدر: من إعداد الباحثة باستخدام برنامج minitab

جدول رقم (20-4) يوضح قيم الارتباطات الجزئية (حوادث الموت) بعد أخذ الفرق

Lag	ACF	T	LBQ
1	<b>0.048324</b>	<b>0.47</b>	<b>0.23</b>
2	<b>-0.412980</b>	<b>-3.99</b>	<b>16.96</b>
3	<b>-0.118431</b>	<b>-0.99</b>	<b>18.35</b>
4	<b>-0.064961</b>	<b>-0.54</b>	<b>18.77</b>
5	<b>0.197111</b>	<b>1.63</b>	<b>22.71</b>
6	<b>0.029213</b>	<b>0.23</b>	<b>22.80</b>
7	<b>-0.096745</b>	<b>-0.78</b>	<b>23.77</b>
8	<b>-0.040960</b>	<b>-0.33</b>	<b>23.94</b>
9	<b>0.018157</b>	<b>0.14</b>	<b>23.98</b>
10	<b>-0.108544</b>	<b>-0.86</b>	<b>25.24</b>
11	<b>0.002985</b>	<b>0.02</b>	<b>25.25</b>
12	<b>0.248314</b>	<b>1.96</b>	<b>32.03</b>
13	<b>-0.037866</b>	<b>-0.29</b>	<b>32.19</b>
14	<b>-0.002660</b>	<b>-0.02</b>	<b>32.19</b>
15	<b>0.030696</b>	<b>0.23</b>	<b>32.30</b>
16	<b>-0.163878</b>	<b>-1.24</b>	<b>35.41</b>
17	<b>-0.039375</b>	<b>-0.29</b>	<b>35.59</b>
18	<b>0.043291</b>	<b>0.32</b>	<b>35.81</b>
19	<b>0.033087</b>	<b>0.25</b>	<b>35.94</b>
20	<b>-0.046643</b>	<b>-0.35</b>	<b>36.21</b>
21	<b>-0.010165</b>	<b>-0.08</b>	<b>36.22</b>
22	<b>0.088659</b>	<b>0.66</b>	<b>37.21</b>
23	<b>0.088943</b>	<b>0.66</b>	<b>38.21</b>
24	<b>0.004159</b>	<b>0.03</b>	<b>38.21</b>

الشكل رقم (4-19): دالة الارتباط الذاتي الجزئي للسلسلة الزمنية



المصدر: من اعداد الباحثة باستخدام برنامج minitab

### جدول رقم (21-4) يوضح قيم الارتباطات

Lag	ACF	T
1	<b>0.048324</b>	<b>0.47</b>
2	<b>-0.416288</b>	<b>-4.04</b>
3	<b>-0.084932</b>	<b>-0.82</b>
4	<b>-0.276563</b>	<b>-2.68</b>
5	<b>0.155707</b>	<b>1.51</b>
6	<b>-0.184464</b>	<b>-1.79</b>
7	<b>0.063842</b>	<b>0.62</b>
8	<b>-0.145115</b>	<b>-1.41</b>
9	<b>0.095834</b>	<b>0.93</b>
10	<b>-0.339271</b>	<b>-3.29</b>
11	<b>0.163243</b>	<b>1.58</b>
12	<b>-0.007108</b>	<b>-0.07</b>
13	<b>0.039155</b>	<b>0.38</b>
14	<b>0.103606</b>	<b>1.00</b>
15	<b>0.107119</b>	<b>1.04</b>
16	<b>-0.113801</b>	<b>-1.10</b>
17	<b>-0.066122</b>	<b>-0.64</b>
18	<b>-0.016944</b>	<b>-0.16</b>
19	<b>-0.055545</b>	<b>-0.54</b>
20	<b>-0.145599</b>	<b>-1.41</b>
21	<b>0.065264</b>	<b>0.63</b>
22	<b>0.124793</b>	<b>1.21</b>
23	<b>0.084049</b>	<b>0.81</b>
24	<b>0.007595</b>	<b>0.07</b>

من خلال الشكل اعلاه نلاحظ وقوع جميع قيم الارتباطات الذاتية والارتباطات الذاتية الجزئية داخل حدود الثقة عدا قيمة الارتباط الثاني والرابع وهذا يشير الى سكون السلسلة .

### 3. اختيار النموذج :

من خلال مخطط الدالتين ( الارتباط الذاتي والارتباط الذاتي الجزئي) نلاحظ ان النموذج المناسب لبيانات سلسلة حوادث الموت هو (1,0,1) ARMA والذي يكتب على الصورة الآتية:

#### 4-2-2 تدبير معلم النموذج :

تم التوصل الى ان النموذج الملائم لبيانات (سلسلة) حوادث الموت هو  $ARMA(1,0,1)$  والذي يكتب على الصورة الآتية :-

$$X_t = \mu - \theta_1 a_{t-1} + a_t$$

جدول (22-4) به قيم المعلمات المقدرة التي تم الحصول عليها باستخدام برنامج Minitab للنموذج  $MA(1)$  لبيانات (سلسلة) حوادث الموت.

#### جدول رقم (22-4) يوضح قيم المعلمات المقدرة

Type	Coef	SE Coef	T	P
AR 1	-0.5360	0.0886	-6.05	0.000
MA 1	0.9960	0.0238	41.82	0.000
Constant	-0.05089	0.03545	-1.44	0.154
Differencing: 2 regular difference				
Number of observations: Original series 96, after differencing 94				
Residuals: SS = 10477.0 (backforecasts excluded)				
MS = 115.1 DF = 91				
Modified Box-Pierce (Ljung-Box) Chi-Square statistic				
Lag	12	24	36	48
Chi-Square	22.2	27.7	44.0	52.4
DF	9	21	33	45
P-Value	0.008	0.150	0.096	0.210

والنموذج المقترن الذي وفقه تتولد (سلسلة) حوادث الموت هو

$$Z_t = -0.536Z_{t-1} - 0.9960a_{t-1} + a_t$$

### 4-3-3 فحص مدى ملائمة النموذج للبيانات :-

فحص مدى ملائمة النموذج للبيانات يعني تشخيص واختبار النموذج المقترن الذي تم تحديده وتقدير معلماته وهي الخطوة الثالثة والمهمة جدا حيث يتم اختبار تحقق فروض البوافي (حد الخطأ) وهي:

$$a \sim IIN(0, \sigma_a^2)$$

#### 1. اختبار عشوائية البوافي :-

اختبار عشوائية البوافي بطريقة Runs test والذي يختبر الفرض الصفرى (فرض العدم) ان:

$H_0$ : توزيع الأخطاء (البوافي) عشوائي

مقابل الفرض البديل ان:

$H_1$ : توزيع الأخطاء (البوافي) غير عشوائي

كما يوضح جدول رقم (4-23) معنوية الاختبار لذا نقبل فرض العدم وان البوافي عشوائي

#### جدول رقم (23-4) يوضح نتيجة اختبار Runs test عشوائية الأخطاء

Runs test
The observed number of runs=56
The expected number of runs =47.9787
48 Observation above K 46 below
The test is significance at 0.096
Can not reject at alpha =0.05

## 2. اختبار إستقلالية البواقي :

يفترض البحث ويختبر فرض العدم القائل :

أن قيم الأخطاء المقدرة مستقلة (عشوائية) ، مقابل الفرض البديل القائل :

أن قيم الأخطاء المقدرة للنموذج غير مستقلة (غير عشوائية) أي أن :

$$H_0 = \rho_s(a_t) = 0$$

$$H_0 = \rho_s(a_t) \neq 0$$

ونختبر الفروض اعلاه بـ استخدام Box-Pierce وهو

ويتم مقارنة  $Q$  مع  $\chi^2$  فإذا كانت قيمة  $Q \leq \chi^2_{(m-d-p-q)\alpha}$  نقبل فرض العدم مما يعني عشوائية الأخطاء ، أما خلاف ذلك نرفض فرض العدم ونقبل البديل .

$$Q = n \sum_{s=1}^m r_s^2(a_t) = 0.54 \text{ لأن}$$

$$\chi^2_{(m-d-p-q)\alpha} = \chi^2_{(48-0-1-1)0.05} = 26.5$$

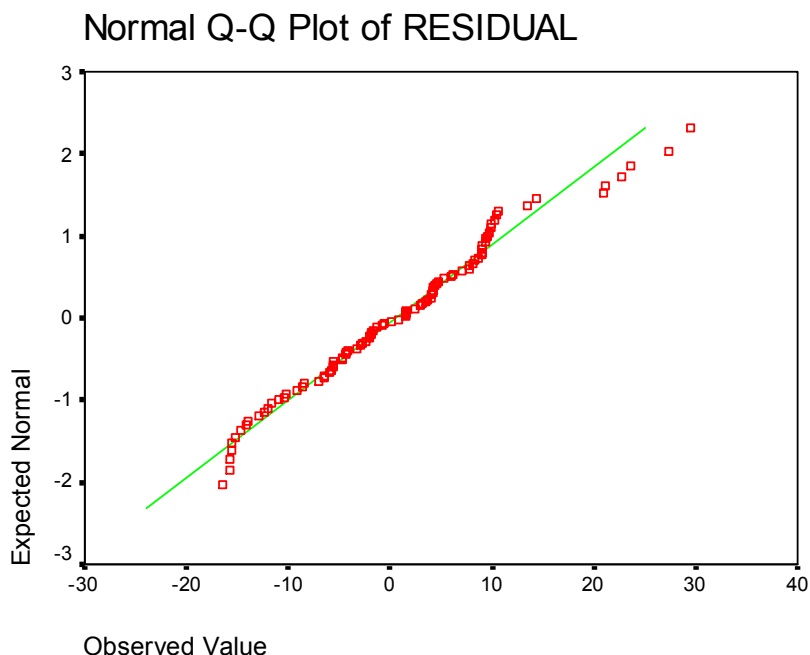
وبما أن قيمة  $\chi^2 \leq Q$  نقبل فرض العدم وان الأخطاء مستقلة .

## 3. اختبار توزيع البواقي :

الغرض من هذا الاختبار هو التأكد من توزيع البواقي هل لها توزيع طبيعي يتطابق مع الفروض بأن  $a \sim IIN(0, \sigma_a^2)$  ويمكن معرفة ذلك من رسم البواقي عن طريق استخدام رسم الإحتمال الطبيعي (Normal Probability Plot) والمدرج التكراري Histogram الذين يبينهما الشكلين رقم (20-4) والشكل رقم (21-4) ، ومن خلال الرسم يتضح أن البواقي طبيعية .

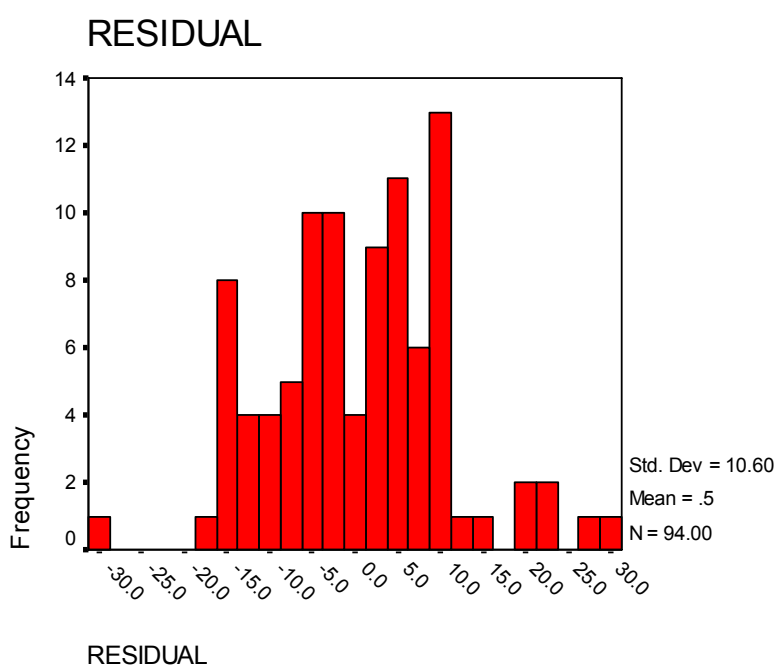
الشكل رقم (20-4) رسم الباقي عن طريق إستخدام الاحتمال الطبيعي

### Normal Probability Plot



شكل رقم (21-4) رسم الباقي عن طريق إستخدام المدرج التكراري

### Histogram



#### 4-4 التنبؤ : Forecasting

بعد المرور بخطوات التعرف على النموذج المناسب لبيانات سلسلة حوادث الموت وتقدير معالمه وفحص النموذج نستخدم النموذج للتنبؤ بالقيم المستقبلية (حوادث الموت للشهور القادمة)

جدول رقم (24-4): التنبؤ بحوادث الموت للعام 2014

الشهر	التنبؤ بالحوادث
يناير	50
فبراير	48
مارس	46
ابريل	44
مايو	42
يونيو	40
يوليو	38
اغسطس	36
سبتمبر	34
اكتوبر	32
نوفمبر	30
ديسمبر	28

نلاحظ من الجدول أن قيم السلسلة تمثل حوادث الموت التي تتناقص تدريجياً ، وهذا يدل على أن الحوادث تقل تدريجياً وذلك يعني نجاح خطة المرور إلى حد كبير في الحد من حوادث المرور وإختنافات المرور وبالتالي تكون حققت الإدارة العامة للمرور أهدافها .

## الفصل الخامس

### النتائج والتوصيات

إن النتائج والتوصيات هي حالة الربط بين الجانب النظري والجانب العملي وأهم الاستنتاجات والتوصيات التي تم الوصول إليها من خلال البحث .

#### 5-1 النتائج:

أهم النتائج التي توصل إليها البحث ما يلي :

1-استخدام تحليل السلسلة الزمنية في دراسة حوادث المرور البسيطة والجسيمة والموت .

2-السلسلة الزمنية قيد البحث هي سلسلة غير مستقلة حيث :  
أ- سلسلة الحوادث البسيطة غير مستقلة في وسطها وبأخذ الفرق الأول أصبحت مستقرة.

ب- سلسلة الحوادث الجسيمة غير مستقلة في وسطها وبأخذ الفرق الأول أصبحت مستقرة.

ج-سلسلة حوادث الموت غير مستقلة في وسطها وبأخذ الفرق الثاني أصبحت مستقرة.

3-النموذج الإحصائي للسلسلة الأولى (الحوادث البسيطة) هو نموذج أوساط متحركة Moving Average Model من الدرجة الأولى (1) .

4-النموذج الإحصائي للسلسلة الثانية (الحوادث الجسيمة) هو نموذج أوساط متحركة Moving Average Model من الدرجة الأولى (1) .

5- النموذج الاحصائي للسلسلة الثالثة (حوادث الموت) هو نموذج مختلط (انحدار ذاتي ذو أوساط متحركة) Autoregressive Moving Average Model من الدرجة الاولى ARMA(1,0,1).

6- النماذج التي تم التوصل إليها هي نماذج كفؤه ويمكن الاعتماد عليها.

7- يمكن استخدام النماذج التي توصل إليها البحث لمعرفة إتجاهات السلسلة لاستخدامها من قبل الجهات التخطيطية لتحليل ودراسة الظاهرة.

## 5-2 التوصيات

- 1- يمكن استخدام النماذج التي توصل اليها البحث من قبل الجهة المستفيدة (إدارة المرور) للسيطرة على الحوادث ولمعرفة إتجاهاتها في المستقبل .
- 2- يوصى الباحث بالقيام بدراسات وبحوث تأخذ مدى الاعتبار المناسب لزيادة فى عدد المركبات والزيادة فى عدد الحوادث لمعرفة الزيادة النسبية الحقيقية فى حادث المرور لأن بحثاً هذا أخذ واقع حال الحادث دون النظر الى أعداد المركبات .
- 3- يوصى الباحث بإستخدام تحليل السلسلة الزمنية لمتعدد المتغيرات لعدة متغيرات.
- 4- يرى الباحث أن على إدارة المرور في حالة وقوع الحادث أن يؤخذ في عين الاعتبار أسباب الحادث وعمر السائقين وعمر السيارة المستخدمة.
- 5- يرى الباحث أن أهم أسباب الحادث داخل ولاية الخرطوم، ومن واقع التجارب المعاشرة أن الهواتف النقالة هو أحد أهم أسباب وقوع الحادث البسيطة والجسيمة.
- 6- إدخال الوسائل العلمية الحديثة لمراقبة الطرق من كاميرات مراقبة وتواجد مروري مُكثّف.
- 7- تحسين الطرق وصيانتها والاهتمام بإنارة الطرق ووضع علامات المرور لتوضيح مناطق العبور أو المدارس والجامعات.

## المصادر والمراجع

1. Jok , Abent Kuany ، بحث ماجستير في الإحصاء التطبيقي ، 2006م، جامعة السودان للعلوم والتكنولوجيا بعنوان الأمطار في ولاية القضارف.
2. أبو القاسم، على، أساليب الإحصاء التطبيقي، 1987م، دار الشباب للنشر والترجمة والتوزيع - نيكوسيا - قبرص.
3. ادريس، انتصار أبو تلة بشير، بحث درجة الماجستير في الإحصاء التطبيقي، 2010م، جامعة السودان للعلوم والتكنولوجيا بعنوان: (استخدام تحليل السلسلة الزمنية لبناء نماذج حوادث الحركة بولاية الخرطوم) .
4. أساليب ووسائل الحد من حوادث المرور (الندوة العلمية الاربعون)، أكاديمية نايف للعلوم الأمنية، الرياض، 1418هـ-1997م، مركز الدراسات والبحوث.
5. الأطرقجي، محمد على، الوسائل التطبيقية في الطرق الاحصائية، 1982م، دار الطليعة للطباعة والنشر، بيروت.
6. الطيب، الشيخ ادريس، بحث ماجستير في الإحصاء التطبيقي، 2007م، جامعة السودان للعلوم والتكنولوجيا بعنوان: (دراسة النماذج الإحصائية لإنتاج الطاقة الكهربائية في السودان) .
7. برى، عدنان ماجد، طرق التنبؤ الإحصائي، الجزء الأول، 2002م، جامعة الملك سعود.
8. حسن، سيف الدين عوض، نظام المرور في السودان (الواقع والرؤية المستقبلية)، 1999م-2000م، بحث لنيل زمالة أكاديمية الشرطة العليا.
9. عثمان، منتصر أحمد، بحث ماجستير في الإحصاء التطبيقي، 2009م، جامعة السودان للعلوم والتكنولوجيا بعنوان: (استخدام تحليل السلسلة الزمنية للتنبؤ بكمية الأمطار في ولاية ك耷ا).

10. فاندلی، والتر، السلاسل الزمنية من الوجهة التطبيقية ونماذج بوكس جنکنر، ترجمة عبدالرحمن المرضى حامد، أحمد حسين، 1992م، دار المريخ للنشر، الرياض، السعودية .
11. محجوب، رشا شمس الدين، بحث درجة الماجستير في الإحصاء التطبيقي، 2009م، جامعة السودان للعلوم والتكنولوجيا بعنوان: (تطبيق نماذج بوكس جنکنر للتنبؤ بتكلفة الحالات المحولة بالتأمين الصحي).
12. محمد، أكرم عبد الدائم، بحث ماجستير في الإحصاء التطبيقي، 2006م، جامعة السودان للعلوم والتكنولوجيا بعنوان الإصابة بمرض السرطان.